

# Fizyka

*„Jak wydrążymy w Ziemi tunel i wrzucimy tam ucznia nieuczącego się magnetostatyki, to już wiemy że będzie poruszał się ruchem harmonicznym.”*

Wykładowca:  
Elżbieta Zawistowska

Skryba:  
Szymon Cedrowski

# Spis treści

|          |   |           |
|----------|---|-----------|
| <b>1</b> | <b>Fale i optyka geometryczna</b>                                 | <b>4</b>  |
| 1.1      | Równanie falowe . . . . .   | 4         |
| 1.2      | Zasada Huygensa . . . . .   | 5         |
| 1.3      | Interferencja . . . . .   | 7         |
| 1.4      | Moc i natężenie źródła . . . . .                                  | 9         |
| 1.5      | Fale stojące . . . . .  | 10        |
| 1.6      | Drgania własne . . . . .  | 11        |
| 1.7      | Efekt Dopplera . . . . .  | 12        |
| 1.8      | Interferencja 2 . . . . .   | 13        |
| 1.9      | Siatka dyfrakcyjna . . . . .                                      | 15        |
| 1.10     | Zwierciadła wklęsłe i wypukłe . . . . .                           | 16        |
| 1.11     | Pryzmat . . . . .   | 19        |
| 1.12     | Soczewki . . . . .  | 19        |
| 1.13     | Polaryzacja przez odbicie . . . . .                               | 23        |
| 1.14     | Powiększenie liniowe i kątowe . . . . .                           | 23        |
| <b>2</b> | <b>Szczególna Teoria Względności</b>                              | <b>27</b> |
| 2.1      | Transformacja Galileusza . . . . .                                | 27        |
| 2.2      | Transformacja Lorentza . . . . .                                  | 29        |
| 2.3      | Transformacja prędkości . . . . .                                 | 32        |
| 2.4      | Dylatacja czasu . . . . .   | 32        |
| 2.5      | Kontrakcja Lorentza . . . . .                                     | 32        |
| 2.6      | Pęd relatywistyczny . . . . .                                     | 34        |
| 2.7      | Energia relatywistyczna . . . . .                                 | 35        |
| 2.8      | Zjawisko fotoelektryczne . . . . .                                | 36        |
| 2.9      | Względność pól $\vec{E}$ , $\vec{B}$ . . . . .                    | 36        |
| 2.9.1    | Zmiana pola $\vec{B}$ przy zmianie układów inercjalnych . . . . . | 38        |
| 2.10     | Relatywistyczny efekt Dopplera . . . . .                          | 39        |
| 2.10.1   | Wyprowadzenie z równania fali . . . . .                           | 40        |
| 2.11     | Transformacja pędu i energii . . . . .                            | 40        |
| 2.12     | Transformacja siły . . . . .                                      | 41        |
| 2.12.1   | Zadanko na miły początek wakacji . . . . .                        | 42        |

# Rozdział 1

## Fale i optyka geometryczna

### 1.1 Równanie falowe

**Definicja 1.** Fala – zaburzenie w ośrodku przekazujące energię.

**Twierdzenie 1.** Równanie falowe w przestrzeni  $n$ -wymiarowej ma postać

$$\nabla^2 u(\vec{r}, t) = \frac{1}{v^2} \frac{\partial^2 u}{\partial t^2}$$

gdzie  $u$  jest funkcją wychyleń, ewentualnie w przypadku fal akustycznych falą ciśnienia, przesunięć lub generalnie przepływu.  $v$  jest prędkością rozchodzenia się fali w ośrodku.

*Dowód.* Dowód w 1D można przeprowadzić używając prawa Hooke’a. Na 3D rozszerzamy biorąc gotowe rozwiązania z 1D, jako że  $u$  jest funkcją współrzędnych niezależnych i czasu. Laplasjan  $\nabla^2$  wynika z transformacji między dowolnymi współrzędnymi krzywoliniowymi a wyjściowym układem kartezjańskim. ■

**Wniosek 1.** Można pokazać, że ogólnym rozwiązaniem równania falowego w 1D jest

$$u(x, t) = F(x - vt) + G(x + vt)$$

czyli superpozycja dwóch fal biegnących w przeciwnych kierunkach.

Rozwiązań równania falowego szukamy metodą separacji zmiennych, postulując rozwiązania postaci  $u(\vec{r}, t) = R(\vec{r})T(t)$ . Generalnie rozwiązanie może być obrzydliwe i nieanalityczne. Jednakże w szkole nie ma co się tym przejmować! Przykładowo zakładając, że fala nie ma żadnych składowych sferycznych, powinno się wszystko uprościć. Koniec końców powinniśmy skończyć z równaniami postaci:

$$R(r) = C_1(r)e^{ikr} + C_2(r)e^{-ikr}$$

$$R(r) = C(r)\cos(kr + \phi_1)$$

gdzie  $k = \frac{\omega}{v}$  jest liczbą falową. Niezależnie od złożoności problemu składowa czasowa będzie zwykłym oscylatorem harmonicznym.

$$T(t) = D_1 e^{i\omega t} + D_2 e^{-i\omega t}$$

$$T(t) = D \cos(\omega t + \phi_2)$$

W związku z tym otrzymujemy równanie fali stojącej:

$$u(r, t) = u_+(r, t) + u_-(r, t) = A(r) \cos(kr - \omega t + \phi_+) + A(r) \cos(kr + \omega t + \phi_-)$$

W szczególności, falę biegnącą w kierunku dodatnim możemy przepisać jako:

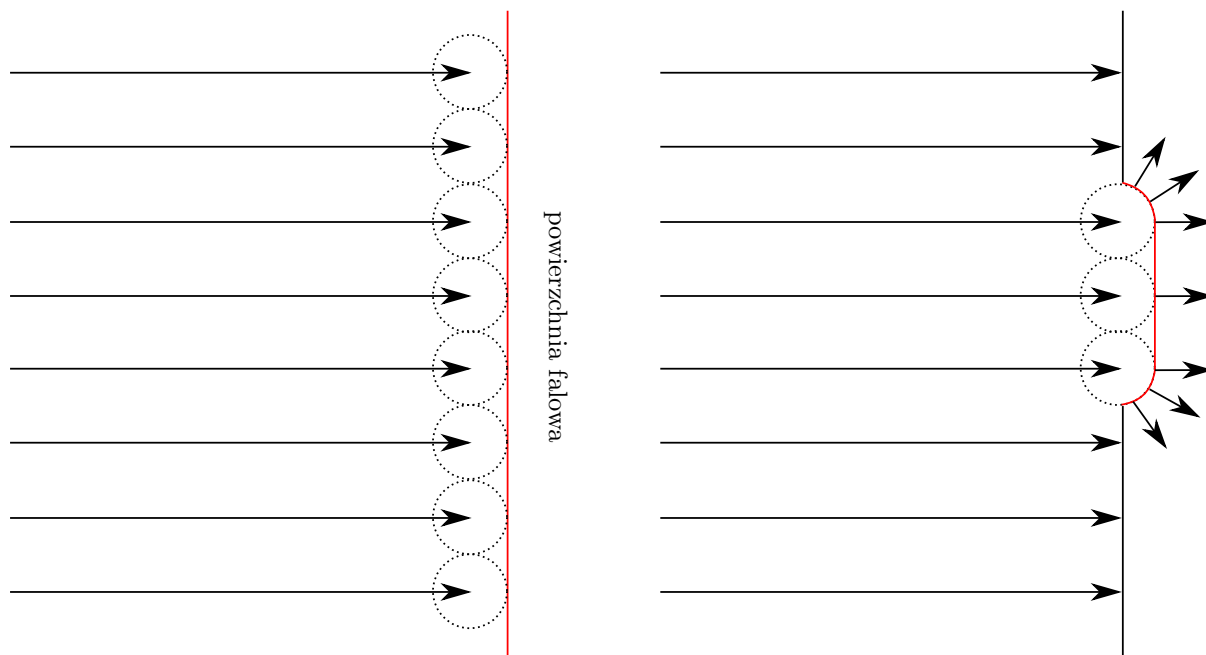
$$u_+(r, t) = A(r) \cos\left(\omega\left(t - \frac{r}{v}\right) + \phi_+\right)$$

**Definicja 2.** Powierzchnia falowa – zbiór punktów fali o takiej samej fazie.

## 1.2 Zasada Huygensa

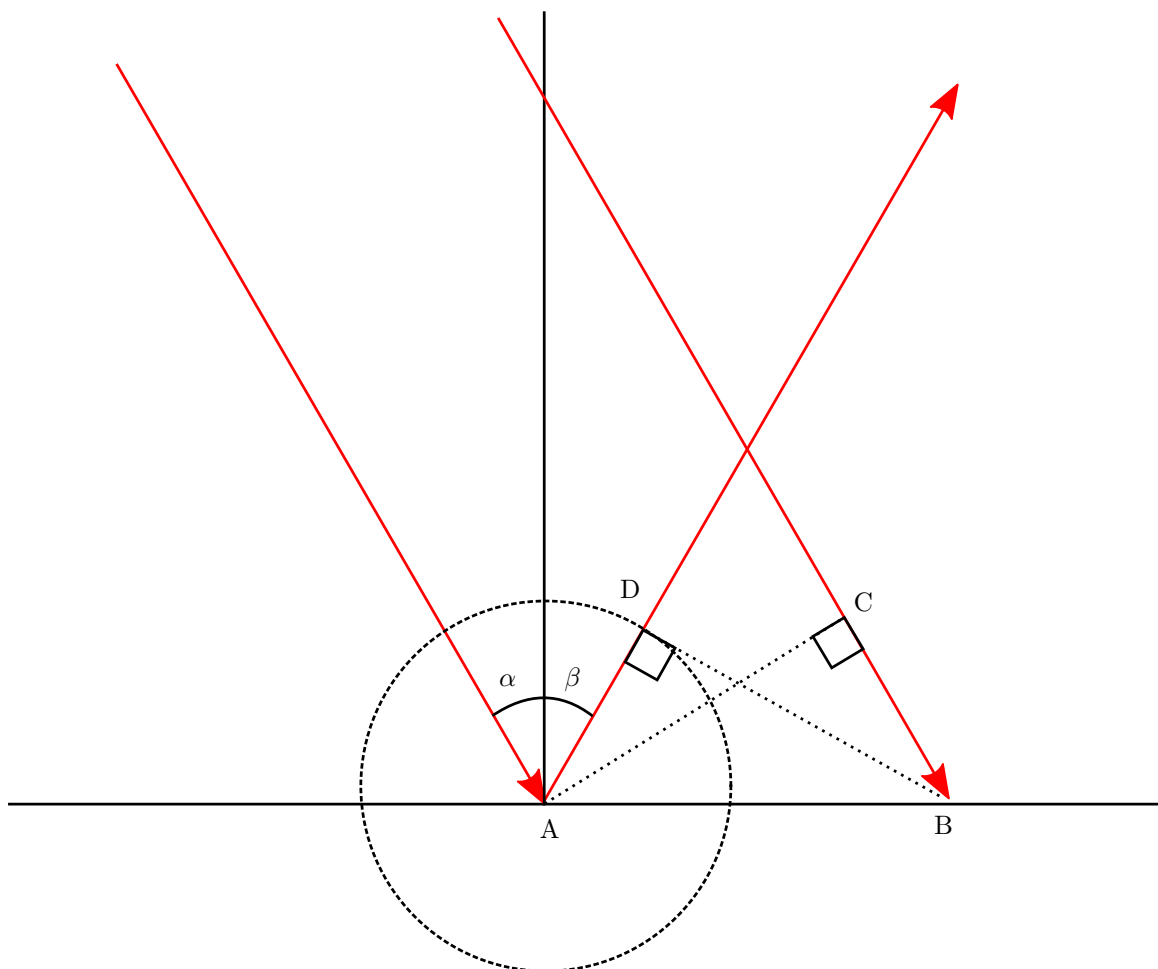
**Twierdzenie 2.** Z punktu, do którego dochodzi fala, rozchodzi się elementarna fala kulista. Nowa powierzchnia falowa jest styczną do wszystkich takich elementarnych fal kulistych.

*Dowód.* Dowód wynika z dość daleko idących manipulacji równaniem falowym. ■



Rysunek 1.1: Wizualizacja frontu falowego zgodnie z zasadą Huygensa. Po prawej stronie widzimy dyfrakcję.

**Twierdzenie 3.** Kąt padania jest równy kątowi odbicia.



Rysunek 1.2: Odbicie fali od pewnej powierzchni. Druga wiązka jest równoległa.

*Dowód.*  $AD = BC = vt$

$BD$  - nowa powierzchnia falowa

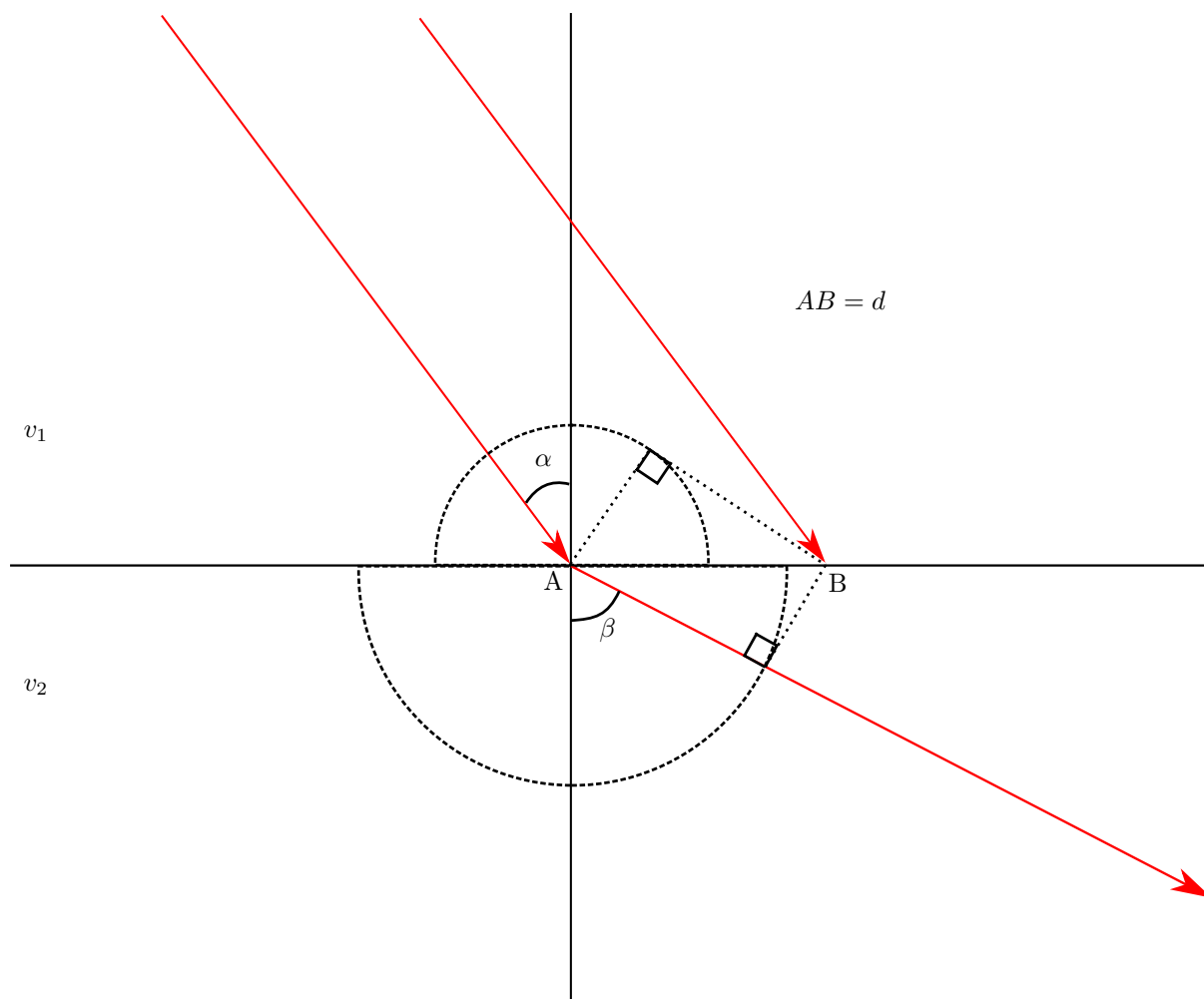
Z cechy bkb  $\triangle ABC \equiv \triangle ADB \Rightarrow \angle CBA = \angle DAB = \pi/2 - \alpha$

$\Rightarrow \beta = \alpha$  ■

**Twierdzenie 4** (Prawo załamania).

$$\frac{v_1}{v_2} = \frac{\sin \alpha}{\sin \beta} = \frac{n_2}{n_1}$$

gdzie  $n_i = c/v_i$  i jest bezwzględnym współczynnikiem załamania (względem próżni).



Rysunek 1.3: Zjawisko załamania fali przy przejściu do innego ośrodka (o innej prędkości propagacji fali). W tym przypadku  $v_2 > v_1$

*Dowód.*

$$\frac{v_1 t}{d} = \sin \alpha, \quad \frac{v_2 t}{d} = \sin \beta \Rightarrow \frac{v_1}{v_2} = \frac{\sin \alpha}{\sin \beta}$$

■

## 1.3 Interferencja

Niech będą sobie dwa źródła, emitujące fale z częstotliwościami  $\omega_1, \omega_2$ .

$$u_1(r_1, t) = A(r_1) \sin \left( \underbrace{\omega_1 \left( t - \frac{r_1}{v} \right) + \phi_{01}}_{\phi_1} \right)$$

$$u_2(r_2, t) = A(r_2) \sin \left( \underbrace{\omega_2 \left( t - \frac{r_2}{v} \right) + \phi_{02}}_{\phi_2} \right)$$

Gdy dwa fronty falowe zderzają się, zachodzi interferencja. Fale nakładają się na siebie. Fale są sinusoidalne, zatem ich wzmacnianie lub wygaszanie zależy od różnicy w fazach.

**Wniosek 2.** Maksimum interferencyjne –  $\Delta\phi = 2k\pi$ ,  $k \in \mathbb{Z}$   
 Minimum interferencyjne –  $\Delta\phi = (2k+1)\pi$ ,  $k \in \mathbb{Z}$

O interferencji mówimy dopiero, gdy jest to **stałe w czasie** zjawisko, tj. powstaje przestrzenny rozkład amplitudy fali. Zatem  $\Delta\phi = \text{const.}(t)$ .

$$\Delta\phi = \phi_1 - \phi_2 = t(\omega_1 - \omega_2) + \frac{1}{v}(\omega_2 r_2 - \omega_1 r_1) + \phi_{01} - \phi_{02} = \text{const.}(t)$$

Stąd wyłaniają się dwa warunki konieczne do zajścia interferencji.

**Wniosek 3.** Interferencja może zajść, jeżeli:

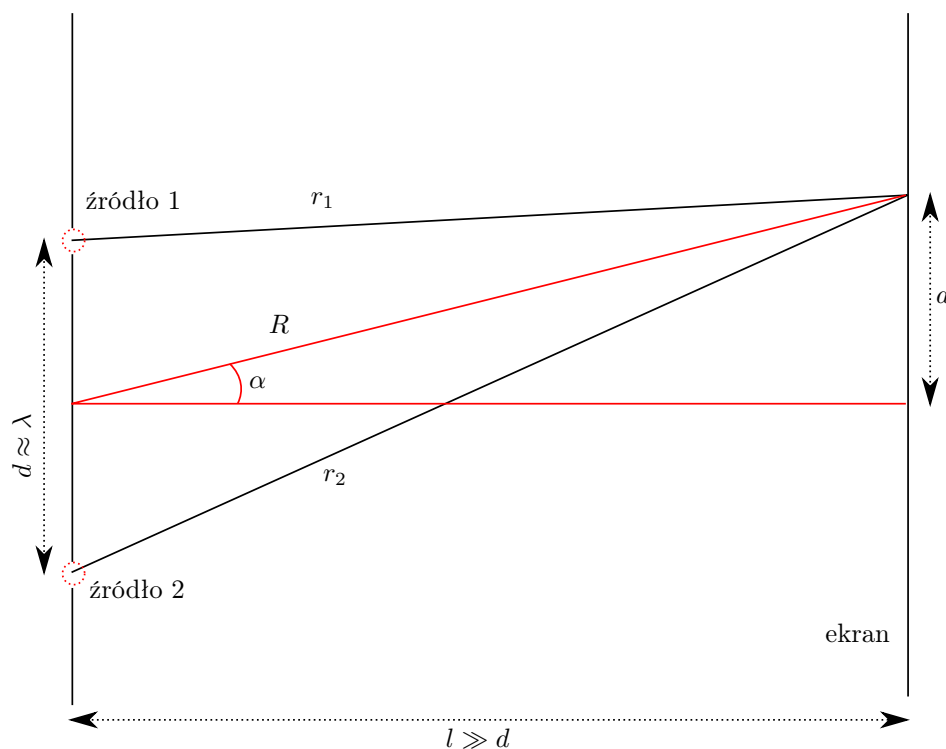
1.  $\omega_1 = \omega_2$  – źródła są spójne
2.  $\Delta\phi_0 = \text{const.}(t)$

Niech  $\phi_{01} = \phi_{02}$ . Wówczas  $\Delta\phi = \frac{\omega}{v}(r_2 - r_1)$ . Z warunku na maksimum mamy więc:

$$\frac{\omega}{v}(r_2 - r_1) = 2k\pi \Rightarrow r_2 - r_1 = k\lambda$$

I analogicznie dla minimum interferencyjnego

$$\frac{\omega}{v}(r_2 - r_1) = (2k+1)\pi \Rightarrow r_2 - r_1 = (2k+1)\frac{\lambda}{2}$$



Rysunek 1.4: Interferencja fal w punkcie. Widzimy, że  $\Delta r \rightarrow 0$ , zatem wyprowadzone wzory ściśle są niepraktyczne. Zamiast tego można podjąć próbę wyrażenia warunków interferencyjnych poprzez wartości  $R$ ,  $\alpha$ .

Szukamy przybliżenia na  $\Delta r = r_2 - r_1$ :

$$r_1^2 = \frac{d^2}{4} + R^2 - dR \sin \alpha$$

$$r_2^2 = \frac{d^2}{4} + R^2 + dr \sin \alpha$$

$$r_2^2 - r_1^2 = 2dR \sin \alpha = \Delta r(r_2 + r_1) \approx 2R\Delta r$$

$$\Delta r \approx d \sin \alpha$$

**Wniosek 4.** Maksimum interferencyjne –  $d \sin \alpha = k\lambda$   
 Minimum interferencyjne –  $d \sin \alpha = (2k + 1)\frac{\lambda}{2}$

Jaka jest odległość kolejnych jasnych prążków na ekranie od osi?

$$k\lambda = d \frac{a}{\sqrt{l^2 + a^2}}$$

A zatem po prostych przekształceniach:

$$a(k) = \frac{k\lambda l}{\sqrt{d^2 - k^2\lambda^2}}$$

## 1.4 Moc i natężenie źródła

**Definicja 3.** Moc źródła –  $P$ , natężenie fali –  $I$   
 Oficjalna zależność łącząca te dwie wartości ma postać:

$$P = \oint_S \vec{I} \cdot d\vec{S} = \frac{dE}{dt}$$

Jeśli założymy, że fala drga zgodnie z normalną do elementu powierzchni zamkniętej lub równoległe do niej (zerowy iloczyn skalarny) oraz, że całkujemy po powierzchni stałego natężenia, to możemy sobie napisać:

$$I = \frac{1}{S} \left( \frac{dE}{dt} \right)$$

gdzie dzielimy przez powierzchnię, przez którą fala przechodzi.

Fala mechaniczna jest masą połączonych, tych oscylatorów harmoniczných. Całkowita energia takiego układu (fragmentu zaburzonego ośrodka o masie  $m$ ) jest sumą średniej energii kinetycznej i potencjalnej. Zgodnie z twierdzeniem o wirale (albo w tym przypadku na zdrową logikę), dla układu o potencjale oscylatora harmonicznego:

$$\langle E_{kin} \rangle = \langle E_{pot} \rangle$$

a zatem całkowita średnia energia wynosi:

$$E = 2 \langle E_{pot} \rangle$$

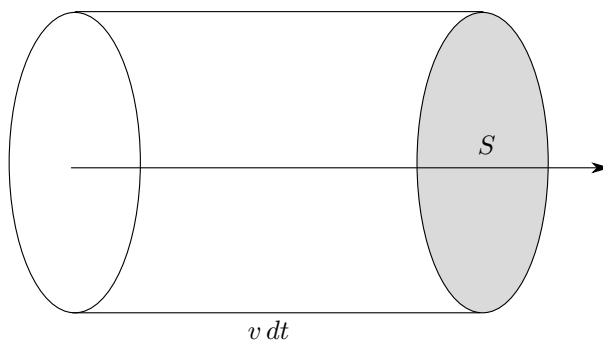
Dla ruchu harmonicznego, energia potencjalna wyrażała się wzorem:

$$E_{pot} = \frac{1}{2} kx^2 = \frac{1}{2} m_i \omega^2 A^2 \sin^2(\omega t - kr + \phi_0)$$

Wartością średnią  $\sin^2(x)$  jest  $1/2$  (wystarczy policzyć  $\frac{1}{2\pi} \int_0^{2\pi} \sin^2(x) dx$ ), zatem:

$$E = 2 \langle E_{pot} \rangle = 2 \frac{1}{4} m \omega^2 A^2 = \frac{1}{2} m \omega^2 A^2$$





Rysunek 1.5: Objętość zajmowana przez element drgającej masy  $dm$ . Kierunek rozchodzenia się fali jest prostopadły do pola  $S$ .

Weźmy teraz dostatecznie małe  $dm$ . Różniczka energii tej „porcji” fali wynosi:

$$dE = \frac{1}{2} \rho v dt S \omega^2 A^2$$

$$\frac{1}{S} \left( \frac{dE}{dt} \right) = I = \frac{1}{2} \rho v \omega^2 A^2$$

**Wniosek 5.** Zachodzi zależność, przydatna przy określaniu własności fal rozchodzących się na różne sposoby:

$$I \propto A^2$$

Dla fali płaskiej, natężenie jest stałe, niezależnie od położenia. Rozchodzą się bowiem fale, których powierzchnie falowe są równoległymi prostymi.

$$I = \text{const.} \Rightarrow A = \text{const.}$$

Dla fali kulistej możemy zapisać:

$$I = \frac{P}{4\pi r^2} = k A^2$$

$$I \propto \frac{1}{r^2} \Rightarrow A \propto \frac{1}{r}$$

Dla fali walcowej:

$$I = \frac{P}{2\pi r} = k A^2$$

$$I \propto \frac{1}{r} \Rightarrow A \propto \frac{1}{\sqrt{r}}$$

## 1.5 Fale stojące

Pojawiło się to już w równaniu falowym, ale teraz omówmy to dokładniej. Nałożmy na siebie dwie fale biegnące o przeciwnych kierunkach drgań. Źródło drga następująco:

$$u(l, t) = A \sin [\omega t + \phi_0]$$

Drgania fali w dowolnym punkcie wyrażają się poprzez:

$$u(x, t) = \underbrace{A \sin \left[ \omega \left( t - \frac{x-l}{v} \right) + \phi_0 \right]}_{u_+(x, t)} + \underbrace{A \sin \left[ \omega \left( t - \frac{l-x}{v} \right) + \phi_0 \right]}_{u_-(x, t)}$$

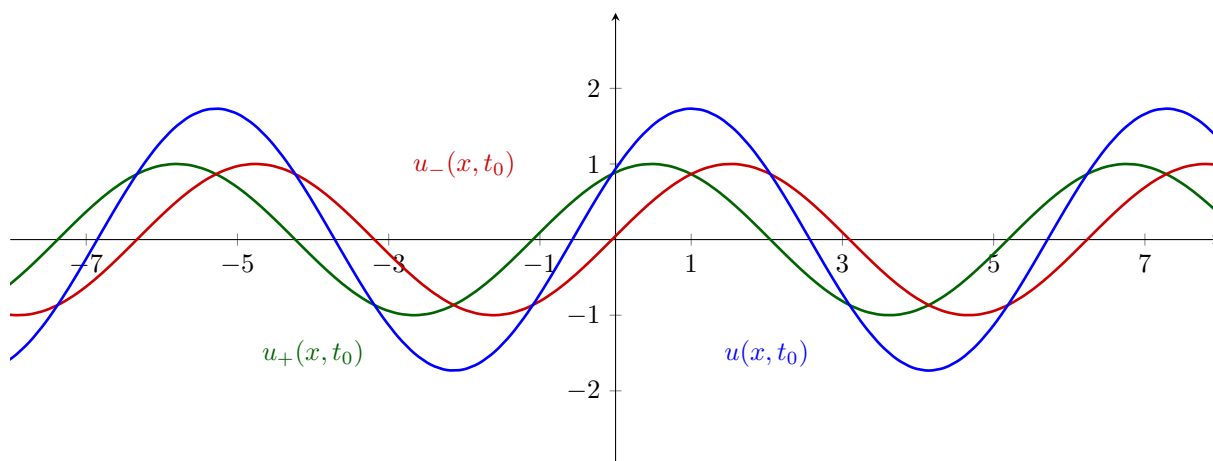
$$u(x, t) = A \sin \left[ \omega \left( t - \frac{x}{v} \right) + \underbrace{\frac{\omega l}{v}}_{\phi_+} + \phi_0 \right] + A \sin \left[ \omega \left( t + \frac{x}{v} \right) + \underbrace{\phi_0 - \frac{\omega l}{v}}_{\phi_-} \right]$$

Korzystając z tożsamości  $\sin x + \sin y = 2 \sin \frac{x+y}{2} \cos \frac{x-y}{2}$  dostaniemy:

**Wniosek 6.** Równanie fali stojącej

$$u(x, t) = 2A \underbrace{\cos \left[ \frac{\omega}{v}(x - l) \right]}_{a(x)} \sin [\omega t + \phi_0]$$

Widzimy teraz skąd się wzięła ta nazwa. Człon czasowy jest niezależny od członu wychylenia z położenia równowagi. W związku z tym doliny i grzbiety nie przemieszczają się w czasie. Fala stoi i sobie oscyluje wokół stałych punktów.

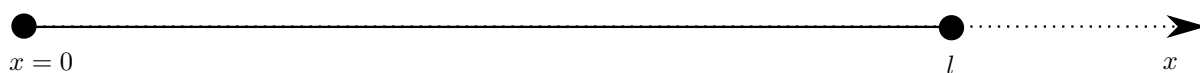


Rysunek 1.6: Wizualizacja fali stojącej w pewnym momencie, wraz z odpowiadającymi falami biegnącymi. Stałe miejsca zerowe  $u(x, t)$  nazywamy **węzłami fali**, natomiast punkty osiągające największe amplitudy – **strzałkami fali**.

Stąd możemy odczytać warunek na węzły:

$$\frac{\omega x}{v} + \frac{\phi_- - \phi_+}{2} = (2k + 1) \frac{\pi}{2}$$

## 1.6 Drgania własne



Rysunek 1.7: Weźmy strunę ograniczoną z dwóch stron. Stąd wniosek, że naturalnymi węzłami są punkty  $x = 0$ ,  $x = l$ .

Z warunków na węzły dostajemy dwa równania:

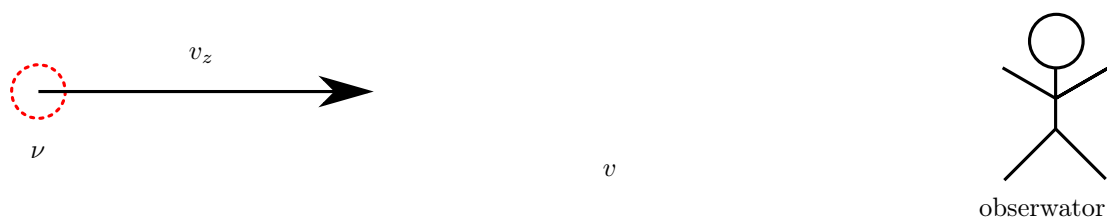
$$\begin{aligned} \phi_- - \phi_+ &= (2n + 1)\pi \\ \frac{2l\omega}{v} + \phi_- - \phi_+ &= (2m + 1)\pi \\ \Rightarrow \frac{2l\omega}{v} + (2n + 1)\pi &= (2m + 1)\pi \Rightarrow \frac{2l\omega}{v} = 2k\pi \end{aligned}$$

Stąd dostajemy kolejne harmoniczne fali:

$$\omega = \frac{k\pi v}{l} = \frac{kv}{2l}, \quad k \in \mathbb{N}$$

A tak poza tym, w problemach bardziej złożonych (np. drgania nie tylko w 1D) robi się to w zasadzie wprost z równania falowego. Jego rozwiązaniem jest także superpozycja rozwiązań postaci  $u(\vec{r}, t)$ . Można wtedy zadać praktycznie dowolnie warunki brzegowe i rozwiązać.

## 1.7 Efekt Dopplera



Rysunek 1.8: Źródło o częstotliwości w układzie spoczywającym  $\nu$  porusza się z prędkością  $v_z$  względem obserwatora. Prędkość rozchodzenia się fali w tym ośrodku wynosi  $v$ .

$$\lambda = vP = \frac{v}{\nu}$$

Długość fali odbierana przez obserwatora wynosi:

$$\lambda' = \lambda \mp v_z P = \frac{v}{\nu} \mp \frac{v_z}{\nu}$$

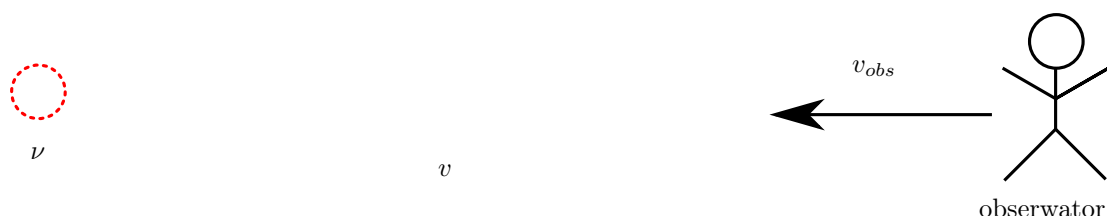
przy czym  $-$  jest dla źródła zbliżającego się, a  $+$  dla oddalającego.

$$\lambda' = \frac{v}{\nu'}$$

**Wniosek 7.** Źródło jest ruchome.

Częstotliwość, którą odbiera obserwator wynosi:

$$\nu' = \nu \frac{v}{v \mp v_z}$$



Rysunek 1.9: Teraz sytuacja analogiczna, tyle że obserwator się rusza a źródło jest nieruchome.

Tym razem droga między grzbietami fali jest taka sama, natomiast zmienia się czas między odbieraniem tych grzbietów, ponieważ obserwator się porusza. W związku z tym zmienia się okres fali.

$$P = \frac{\lambda}{v}$$

$$P' = \frac{\lambda}{v \pm v_{obs}}$$

przy czym  $+$  odnosi się do zbliżającego się źródła, natomiast  $-$  do oddalającego się.

$$P' = \frac{v}{\nu(v \pm v_{obs})} = \frac{1}{\nu'}$$

**Wniosek 8.** Obserwator jest ruchomy.

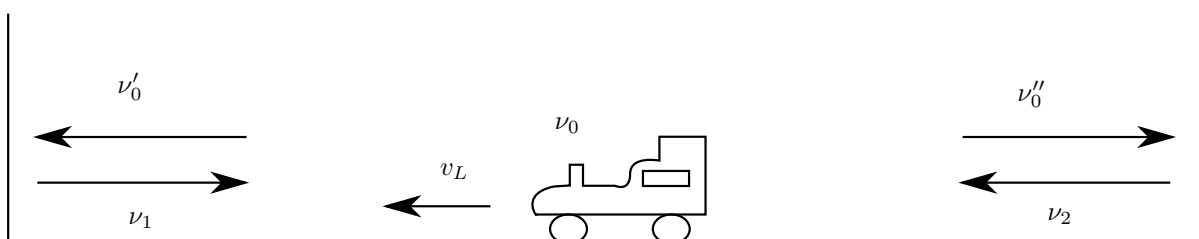
Częstotliwość, którą odbiera obserwator wynosi:

$$\nu' = \nu \frac{v \pm v_{obs}}{v}$$

**Wniosek 9.** Zarówno obserwator, jak i źródło są ruchome. Wówczas zachodzi związek:

$$\nu' = \nu \frac{v \pm v_{obs}}{v \mp v_z}$$

gdzie górne znaki odpowiadają sytuacji gdy wektory prędkości są skierowane ku sobie, a dolne gdy przeciwnie.



Rysunek 1.10: Lokomotywa gwizdże z częstotliwością  $\nu_0$ , a jedzie z prędkością  $v_L$ . Przed nią i za nią są ściany wąwozu. Jakie częstotliwości słyszy maszynista? Prędkość propagacji dźwięku wynosi  $v$ .

Zasadniczo mamy tutaj 3 różne częstotliwości, które powinien słyszeć maszynista.

$$\nu'_0 = \nu_0 \frac{v}{v - v_L}$$

$$\nu_1 = \nu'_0 \frac{v + v_L}{v} = \nu_0 \frac{v + v_L}{v - v_L}$$

Jest to pierwsza z trzech słyszanych częstotliwości. Drugą otrzymujemy analogicznie.

$$\nu''_0 = \nu_0 \frac{v}{v + v_L}$$

$$\nu_2 = \nu''_0 \frac{v - v_L}{v} = \nu_0 \frac{v - v_L}{v + v_L}$$

Trzecia częstotliwość jest tą emitowaną przez lokomotywę.

## 1.8 Interferencja 2

Jeśli światło zmienia ośrodek, to droga optyczna też się zmienia. Dzieje się tak przez zmianę długości fali.

$$\lambda = cP, \quad \lambda_1 = vP$$

gdzie  $P$  jest okresem fali. Teraz robimy interferencję w tym nowym ośrodku:

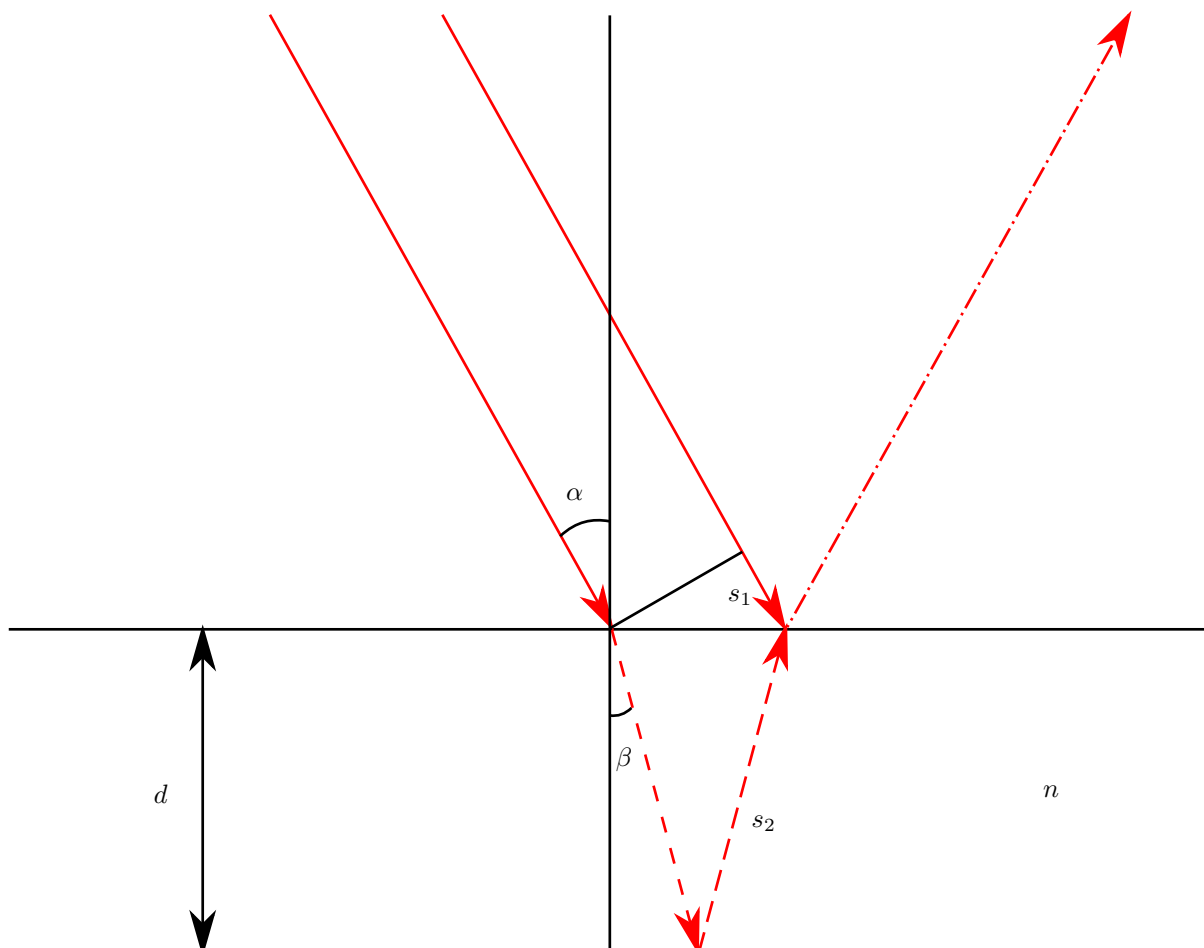
$$r_2 - r_1 = k\lambda_1 = \frac{k\lambda}{n}$$

Stąd wyrażenie  $n(r_2 - r_1)$  nazywamy drogą optyczną.

**Twierdzenie 5.** Mierzac długość fali w próżni musimy uwzględniać drogę optyczną, a nie zwykłą drogę, którą pokonuje wiązka. Przenosi się to na wzory interferencyjne.

$$nd \sin \alpha = k\lambda$$

**Wniosek 10.** Przy odbiciu od gęstszego ośrodka faza fali zwiększa się o  $\pi$ , zatem długość o  $\frac{\lambda}{2}$ .



Rysunek 1.11: W tym przypadku mamy interferencję poprzez załamanie i odbicie fali. Wyznacz warunek na maksimum interferencyjne w zależności od  $d, n, \alpha$ .

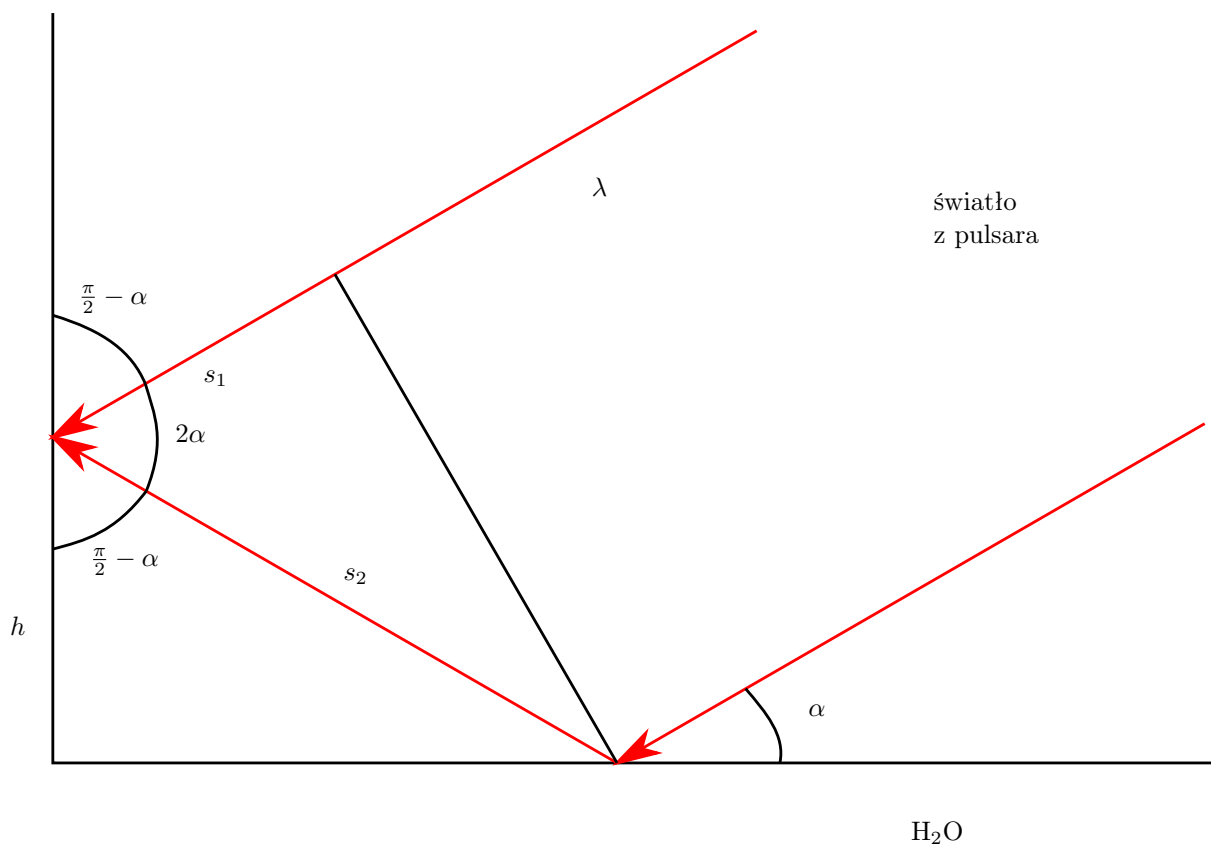
$$\frac{\sin \alpha}{\sin \beta} = n, \quad \frac{d}{s_2} = \cos \beta, \quad \frac{s_1}{2s_2 \sin \beta} = \sin \alpha$$

Droga optyczna na maksimum interferencyjne:

$$2s_2n - s_1 = k\lambda + \underbrace{\frac{\lambda}{2}}_{\text{odbicie}} = \frac{2k+1}{2}\lambda$$

$$\Delta s = \frac{2d}{\cos \beta} (n - \sin \alpha \sin \beta) = \frac{2d}{\sqrt{1 - \sin^2 \beta}} (n - \sin \alpha \sin \beta) = \frac{2dn}{\sqrt{n^2 - \sin^2 \alpha}} \left( n - \frac{\sin^2 \alpha}{n} \right)$$

$$\Delta s = 2d\sqrt{n^2 - \sin^2 \alpha} = \frac{2k+1}{2}\lambda$$



Rysunek 1.12: Leci sobie monochromatyczne światło z pulsara. Odbija się od jeziora i interferuje na odbiorniku, na wysokości  $h$ . Dla jakiego  $\alpha$  występuje maksymalne wzmocnienie sygnału?

Na powierzchni jeziora następuje odbicie, a jest to ośrodek gęstszy optycznie, zatem zmienia się faza.

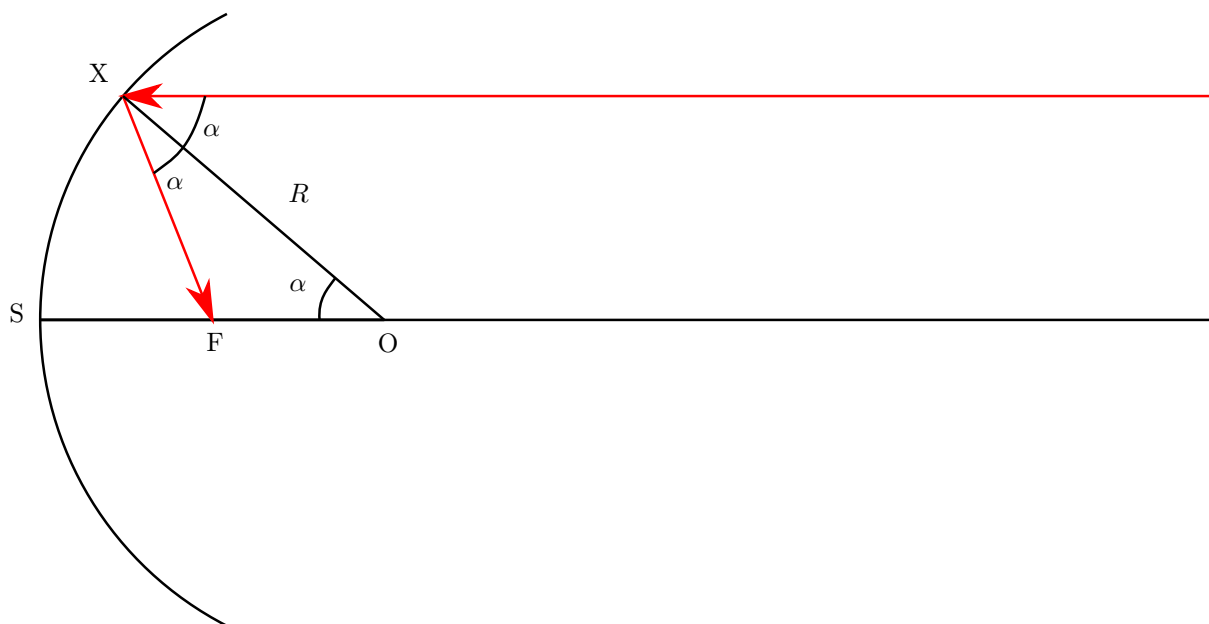
$$s_2 - s_1 = \frac{2k+1}{2}\lambda, \quad \frac{s_1}{s_2} = \cos 2\alpha, \quad \frac{h}{s_2} = \sin \alpha$$

$$\Delta s = \frac{h}{\sin \alpha} (1 - \cos 2\alpha) = \frac{h}{\sin \alpha} (1 - \cos^2 \alpha + \sin^2 \alpha) = 2h \sin \alpha$$

## 1.9 Siatka dyfrakcyjna

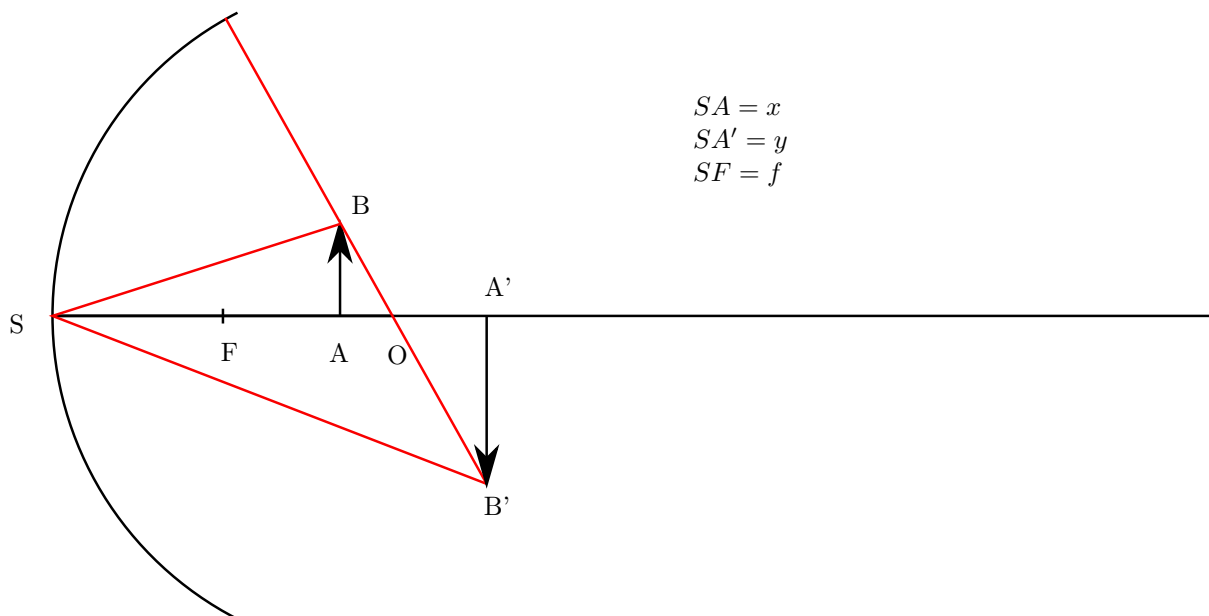
**Definicja 4.** Stała siatki dyfrakcyjnej –  $d = 1 \text{ mm}/N$ , gdzie  $N$  to ilość rys/otworków na 1 mm siatki.

## 1.10 Zwierciadła wklęsłe i wypukłe



Rysunek 1.13: Zwierciadło kuliste wklęsłe w przybliżeniu małych kątów. Jeśli promienie są przyosiowe i równoległe do osi optycznej, to  $XF \approx OF$  i przecinają się w jednym punkcie - ognisku

$$f = SF = R - OF = R - \frac{R}{2 \cos \alpha} \approx \frac{R}{2}$$



Rysunek 1.14: Obraz rzeczywisty, odwrócony, powiększony.

$$\triangle ABS \sim \triangle A'B'S \text{ (kkk)}, \triangle ABO \sim \triangle A'B'O \text{ (kkk)}$$

$$\frac{A'B'}{AB} = \frac{A'S}{AS} = \frac{y}{x}, \quad \frac{A'B'}{AB} = \frac{A'O}{AO} = \frac{y - 2f}{2f - x}$$

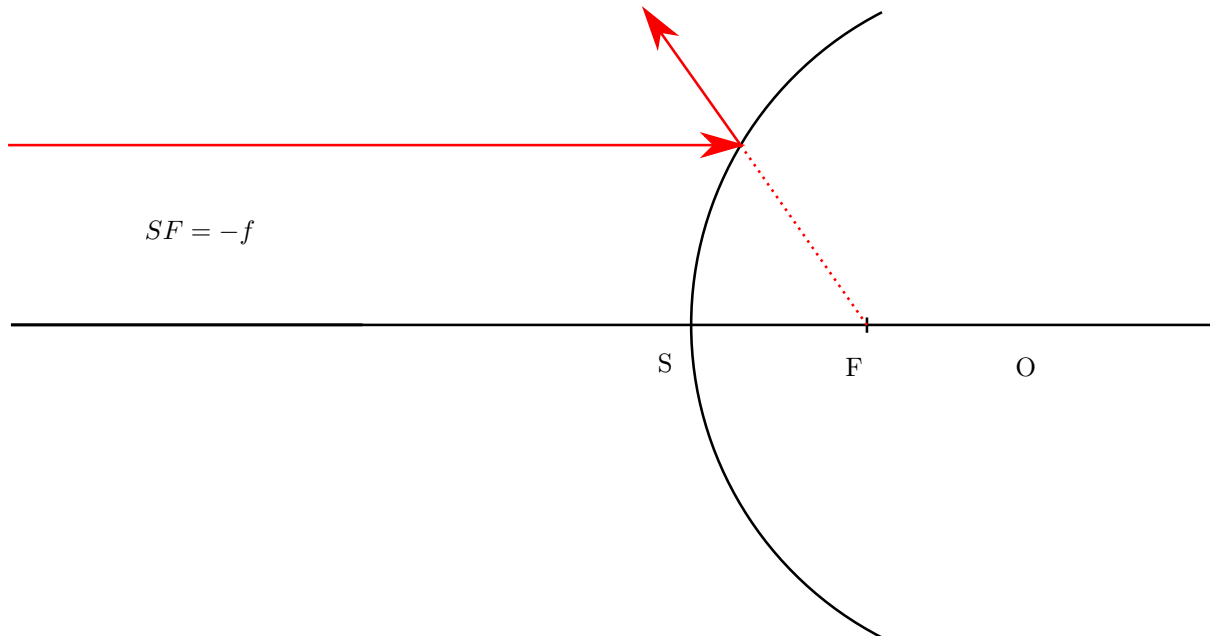
$$2fy - xy = xy - 2fx$$

$$fx + fy = xy$$

**Twierdzenie 6.** Równanie soczewki:

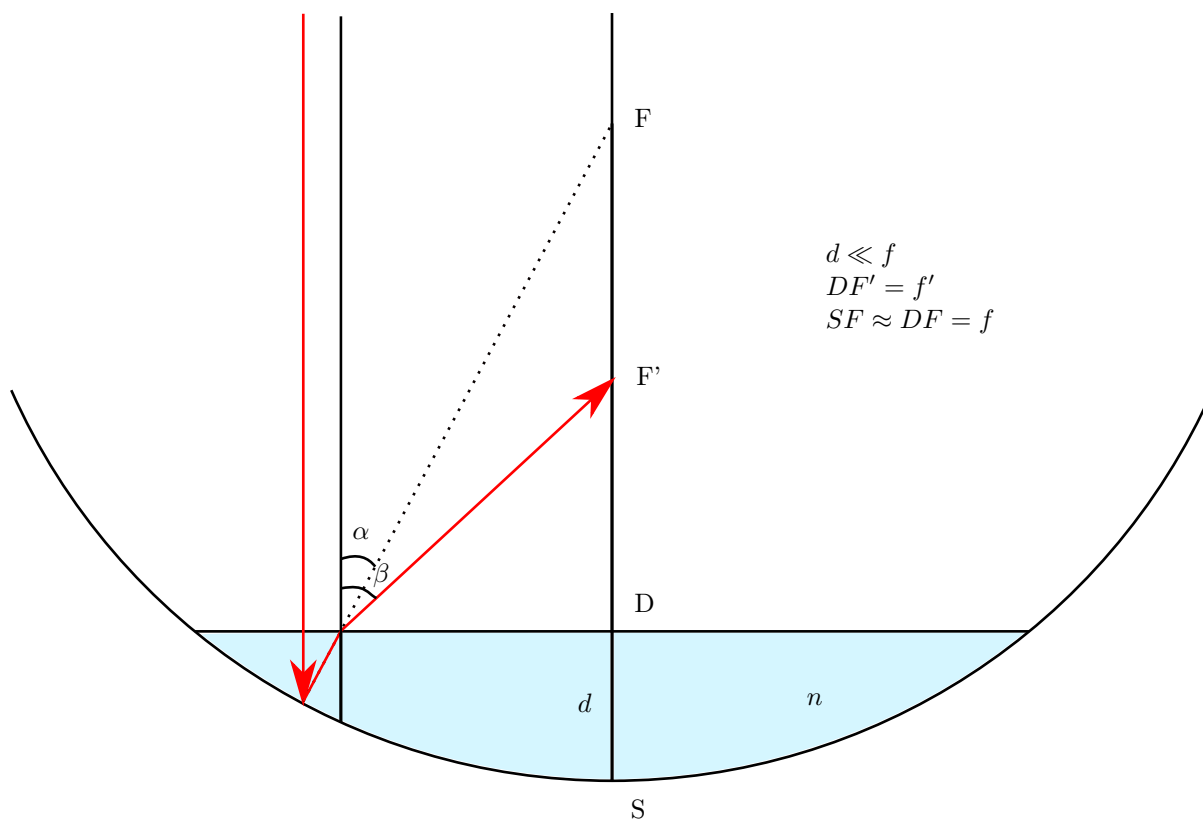
$$\frac{1}{f} = \frac{1}{x} + \frac{1}{y}$$

W przypadku wszystkiego, co pozorne w optyce umawiamy się, że długości takich odcinków są ujemne. Wtedy równanie soczewki pozostaje niezmienione. Jakby co, ognisko też może być pozorne.



Rysunek 1.15: Zwierciadło kuliste wypukłe z pozornym ogniskiem. Otrzymywany obraz jest zawsze prosty, pozorny i pomniejszony.





Rysunek 1.16: Szukamy nową ogniskową po zalaniu zwierciadła cienką warstwą wody.

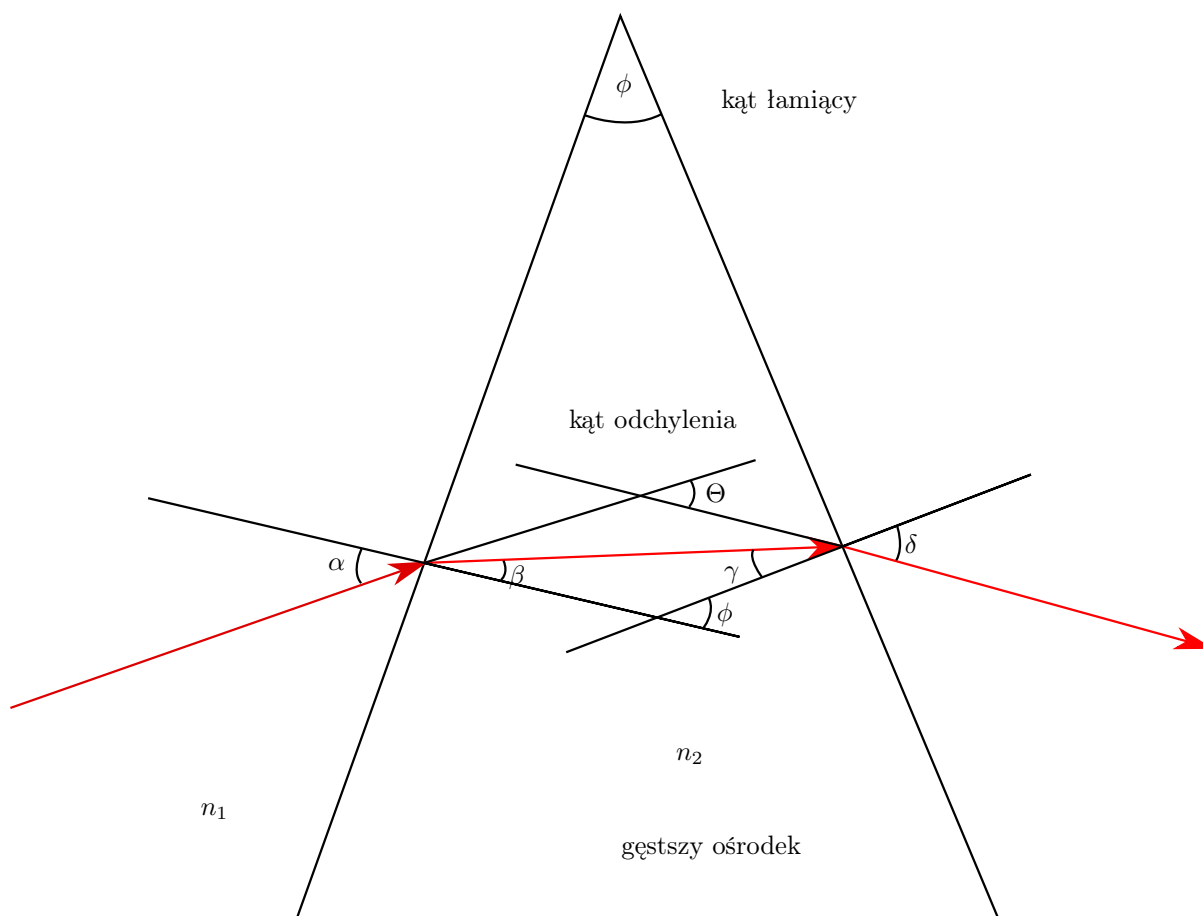
$$\frac{\sin \beta}{\sin \alpha} = n, \quad f' = x \cot \beta, \quad f = x \cot \alpha$$

$$f \tan \alpha = f' \tan \beta$$

Możemy teraz zrobić przybliżenie małych kątów.

$$f' = f \frac{\alpha}{\beta} = \frac{f}{n}$$

## 1.11 Pryzmat



Rysunek 1.17: Schemat pryzmatu.

Chcielibyśmy znaleźć kąt odchylenia w zależności od parametrów wejściowych. Będziemy robili przybliżenie małych kątów.

$$\Theta = \alpha - \beta + \delta - \gamma$$

$$\frac{\beta}{\alpha} = \frac{n_1}{n_2}, \quad \frac{\gamma}{\delta} = \frac{n_1}{n_2}$$

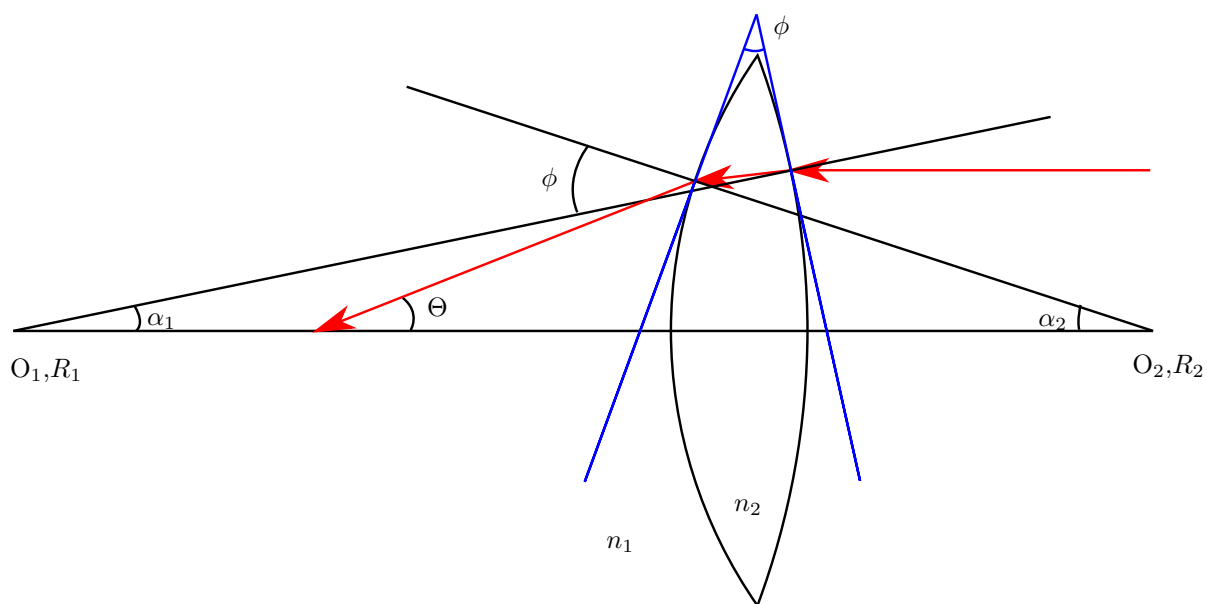
$$\Theta = \alpha \left(1 - \frac{n_1}{n_2}\right) + \gamma \left(\frac{n_2}{n_1} - 1\right) = \alpha \left(1 - \frac{n_1}{n_2}\right) + \left(\phi - \frac{n_1}{n_2}\alpha\right) \left(\frac{n_2}{n_1} - 1\right)$$

**Wniosek 11.** Dla dostatecznie małych  $\alpha$  kąt odchylenia zależy jedynie od ośrodka i kąta łamiącego.

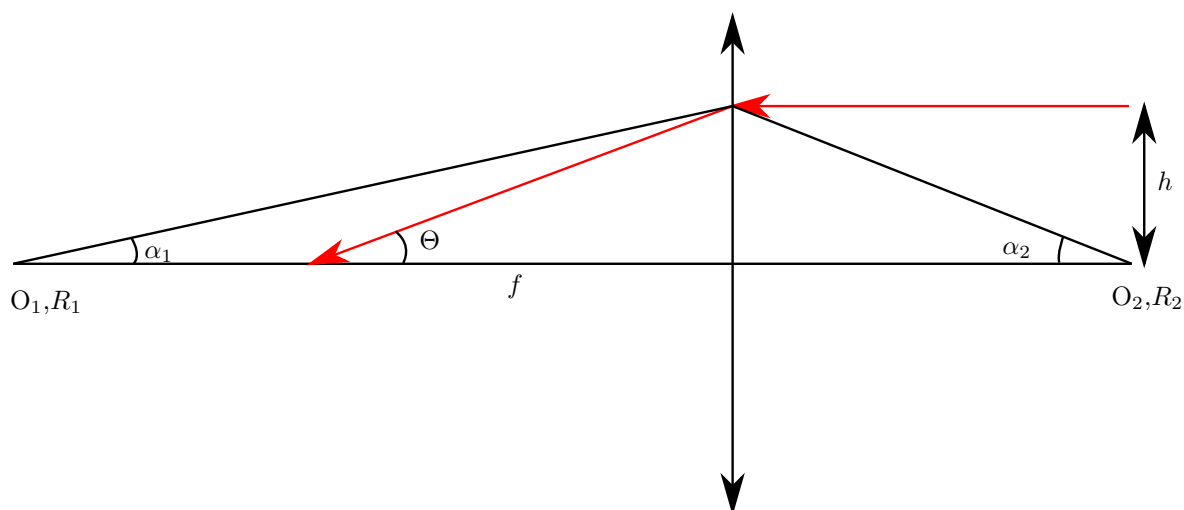
$$\Theta = \phi \left(\frac{n_2}{n_1} - 1\right)$$

## 1.12 Soczewki

**Definicja 5.** Soczewka - obiekt ograniczony dwiema powierzchniami sferycznymi.



Rysunek 1.18: Soczewka dwuwypukła z lokalnym pryzmatem i kątami łamiącymi i odchylenia.



Rysunek 1.19: Odchudzona soczewka.

$$\Theta = \frac{h}{f} = (\alpha_1 + \alpha_2) \left( \frac{n_2}{n_1} - 1 \right) = \left( \frac{h}{R_1} + \frac{h}{R_2} \right) \left( \frac{n_2}{n_1} - 1 \right)$$

**Twierdzenie 7.** Zdolność skupiająca soczewki:

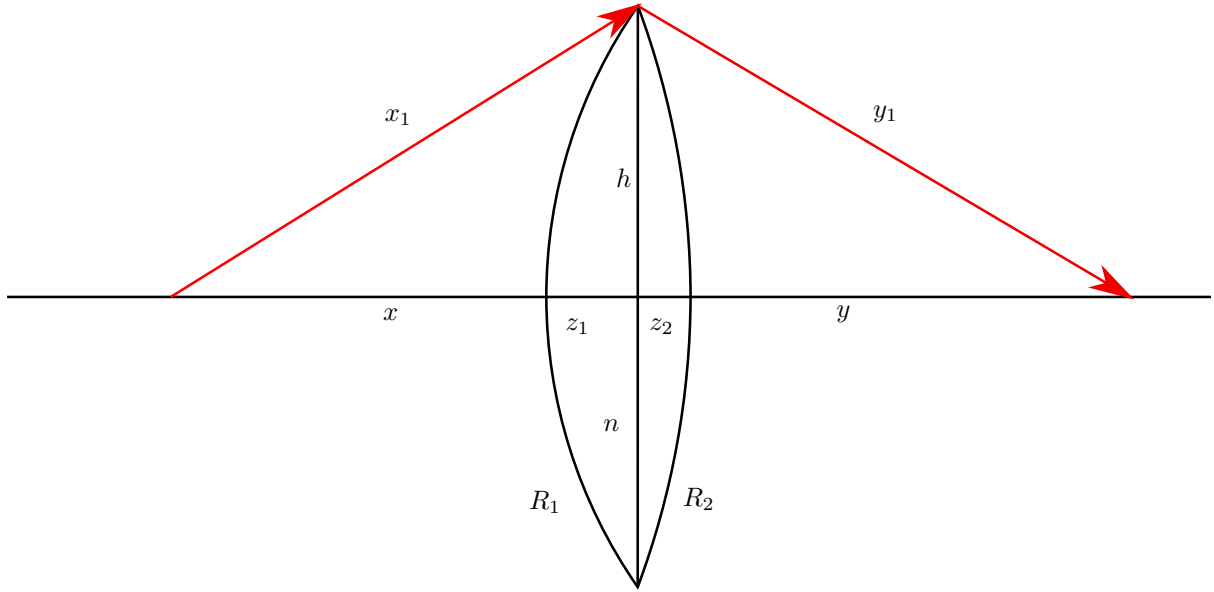
$$\frac{1}{f} = \left( \frac{1}{R_1} + \frac{1}{R_2} \right) \left( \frac{n_2}{n_1} - 1 \right)$$

Wzór jest symetryczny ze względu na  $R_1$  i  $R_2$ .

$R > 0$  dla powierzchni wypukłej

$R < 0$  dla powierzchni wklęsłej

**Twierdzenie 8.** Soczewka nie zmienia fazy promieniom padającym pod różnymi kątami - droga optyczna jest stała, a obraz punktu jest punktem.



Rysunek 1.20: Schematyczne porównanie dwóch wiązek - czerwonej i współosiowej.

*Dowód.* Pokażemy, że  $x_1 + y_1 = n(z_1 + z_2) + x + y$ .

$$(R_1 - z_1)^2 + h^2 = R_1^2 \Rightarrow \begin{cases} z_1 = R_1 - \sqrt{R_1^2 - h^2} \\ z_2 = R_2 - \sqrt{R_2^2 - h^2} \end{cases}$$

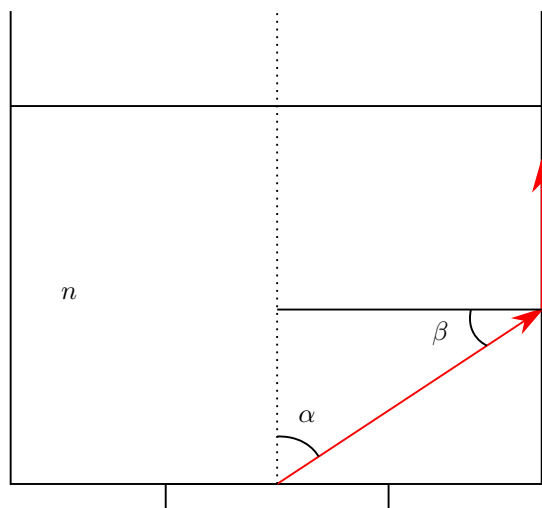
$$\begin{cases} x_1 = \sqrt{(x + z_1)^2 + h^2} \\ y_1 = \sqrt{(y + z_2)^2 + h^2} \end{cases}$$

Użyjemy przybliżenia  $\sqrt{1+t} \approx 1 + t/2$ , dla małych  $t$ .

$$x_1 = (x + z_1) \sqrt{1 + \frac{h^2}{(x + z_1)^2}} \approx (x + z_1) \left( 1 + \frac{h^2}{2(x + z_1)^2} \right) = (x + z_1) + \frac{h^2}{2(x + z_1)}$$

$$z_1 = R_1 - R_1 \sqrt{1 - \frac{h^2}{R_1^2}} \approx R_1 - R_1 \left( 1 - \frac{h^2}{2R_1^2} \right) = \frac{h^2}{2R_1}$$

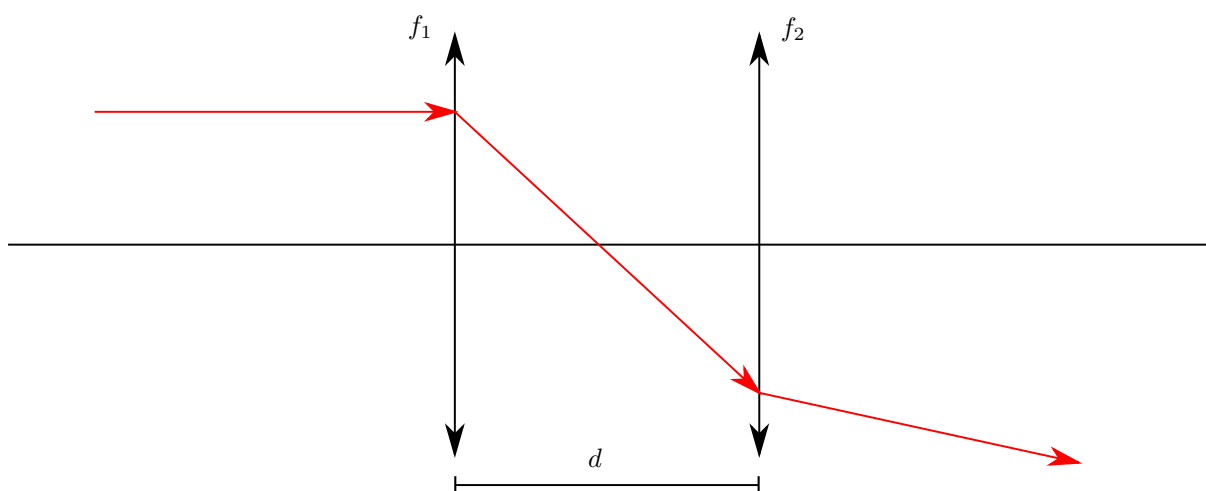
Wystarczy się jeszcze tym pobawić i wyjdzie. ■



Rysunek 1.21: Patrzymy z boku przez wodę i nie widzimy pieniążka, na którym stoi szklanka. Dlaczego tak się dzieje?

Światło pochodzące od pieniążka przechodzi przez wodę i na granicy ośrodków załamuje się. Nie możemy go zobaczyć przez całkowite wewnętrzne odbicie. Wyznamy warunek na  $n$ .

$$\begin{aligned}\beta &\geq \alpha_{gr}, \quad \alpha \leq \alpha_{gr} \\ \cos \alpha &= \sin \beta \geq \frac{1}{n} \geq \sin \alpha \\ \Rightarrow \sin^2 \alpha &\leq \frac{1}{2}, \quad \sin^2 \alpha_{gr} = \frac{1}{n^2} \Rightarrow \alpha \leq \frac{\pi}{4} \\ \frac{1}{n} &\leq \frac{1}{\sqrt{2}} \Rightarrow n \geq \sqrt{2}\end{aligned}$$

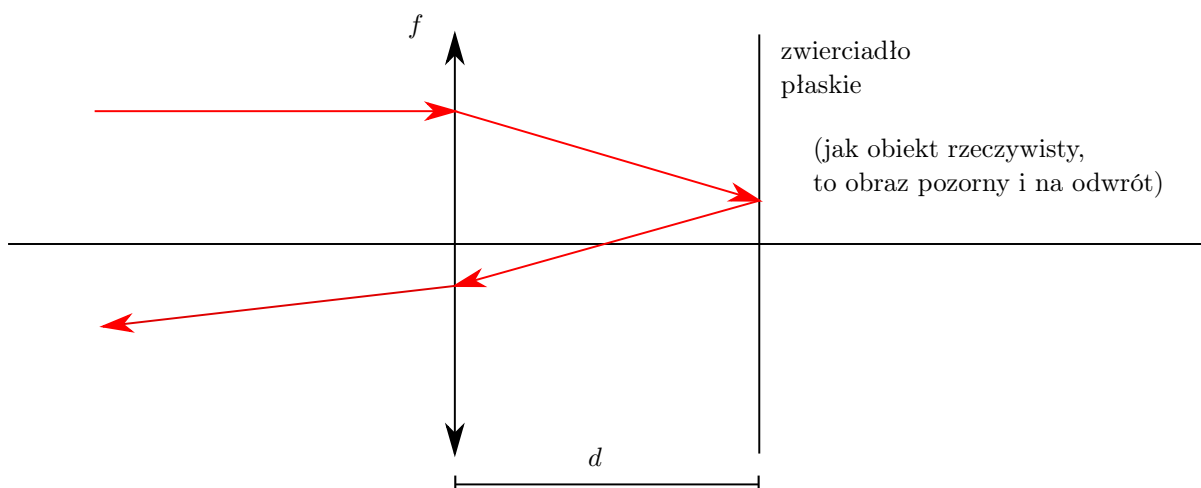


Rysunek 1.22: Czy da się przekształcić wiązkę zbieżną na rozbieżną za pomocą dwóch soczewek skupiających?

$$\underbrace{\frac{1}{f_1} = \frac{1}{y_1}}_{\text{startujemy z okolic } \infty}, \quad \frac{1}{y_2} = \frac{1}{f_2} - \frac{1}{d - y_1} = \frac{d - f_1 - f_2}{f_2(d - f_1)}$$

Aby końcowy obraz był ujemny (pozorny) musi być spełnione:

$$f_1 < d < f_1 + f_2$$



Rysunek 1.23: Wyprowadzić warunki na powstanie obrazu rzeczywistego i pozornego po powtórny przejściu przez soczewkę.

$$y_1 = f, \quad x_2 = d - f, \quad y_2 = -x_2 = f - d$$

$$x_3 = d - y_2 = 2d - f$$

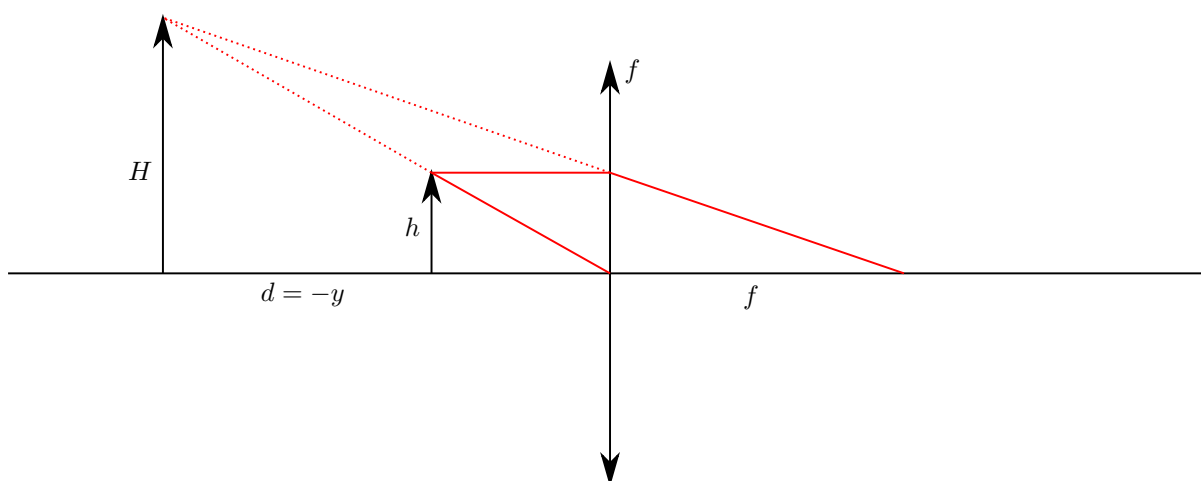
$$\frac{1}{y_3} = \frac{1}{f} - \frac{1}{2d - f} \Rightarrow y_3 = \frac{f(2d - f)}{2(d - f)}$$

Stąd widać, że:

$$\begin{cases} d \in (f/2, f) & - \text{pozorny} \\ d \in (-\infty, f/2) \cup (f, +\infty) & - \text{rzeczywisty} \end{cases}$$

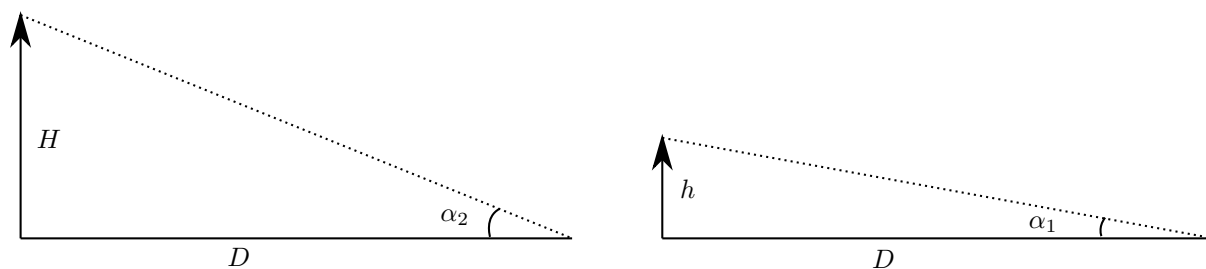
## 1.13 Polaryzacja przez odbicie

## 1.14 Powiększenie liniowe i kątowe



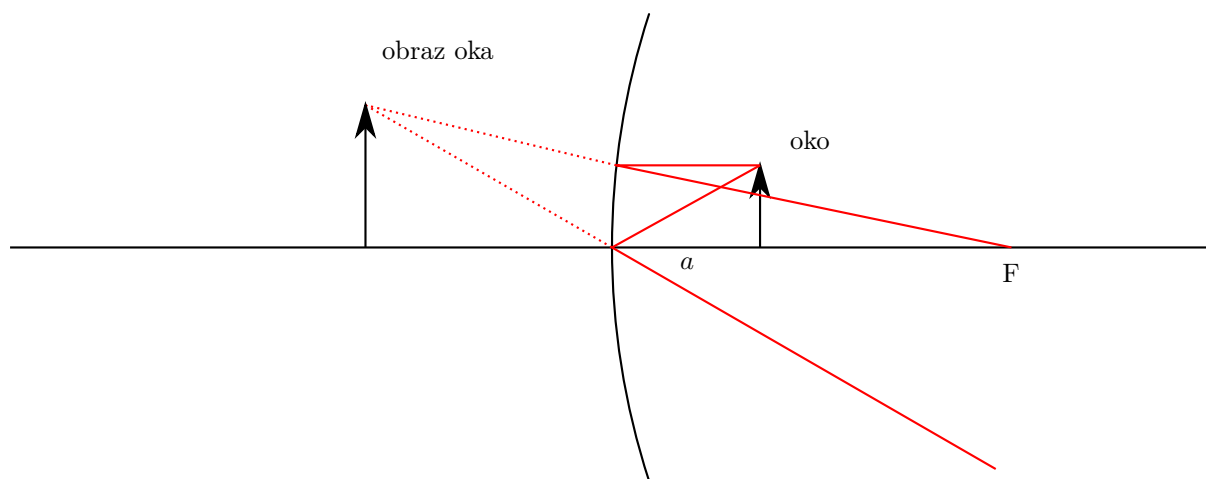
Rysunek 1.24: Schemat lupy. Obiekt jest postawiony w odległości  $x < f$  przez co obraz jest powiększony, prosty i pozorny ( $y < 0$ ).

$$\text{Powiększenie liniowe: } p = \left| \frac{H}{h} \right| = \frac{d}{x} = d \left( \frac{1}{f} - \frac{1}{d} \right) = 1 + \frac{d}{f}$$

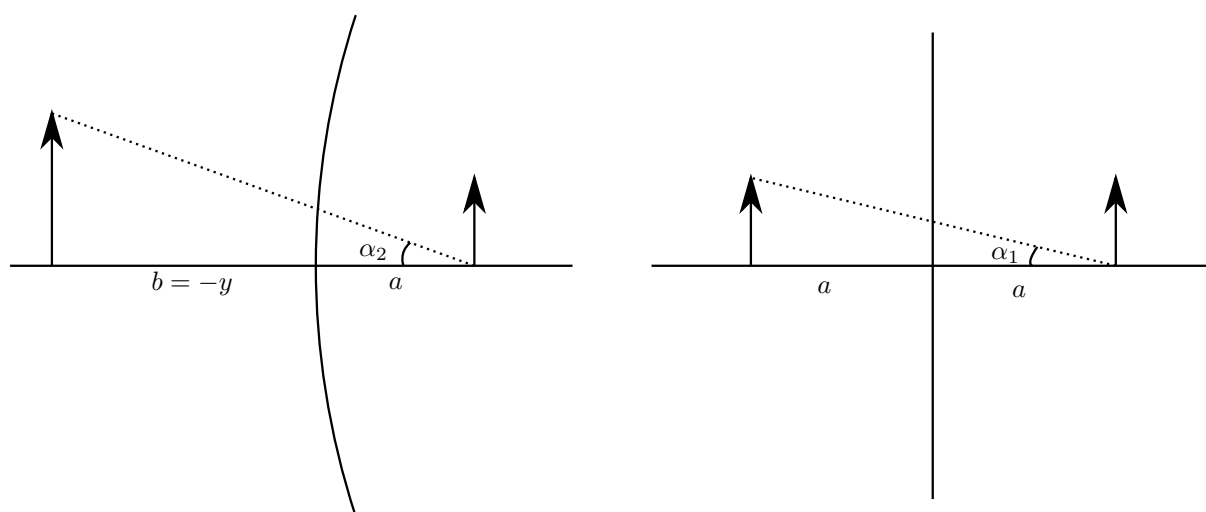
Rysunek 1.25: Schemat powiększenia kąowego, gdzie  $D$  jest odległością dobrego widzenia.

$$\text{Powiększenie kątowe: } p_\alpha = \frac{\alpha_2}{\alpha_1} \approx \frac{H}{D} \cdot \frac{D}{h} = \frac{H}{h}$$

Widzimy więc, że powiększenia liniowe i kątowe dają te same wartości jedynie dla przybliżenia małych kątów.



Rysunek 1.26: Człowiek patrzy w zwierciadło sferyczne wklęsłe i widzi prosty obraz swojego oka. Rozmiar kątowy jest  $N = 1.8$  razy większy niż rozmiar kątowy w zwierciadle płaskim umieszczonym w tej samej odległości  $a$  od oka. Wyznacz promień krzywizny zwierciadła.



Rysunek 1.27: Rozmiary kątowe w zwierciadle wklęsłym i w zwierciadle płaskim.

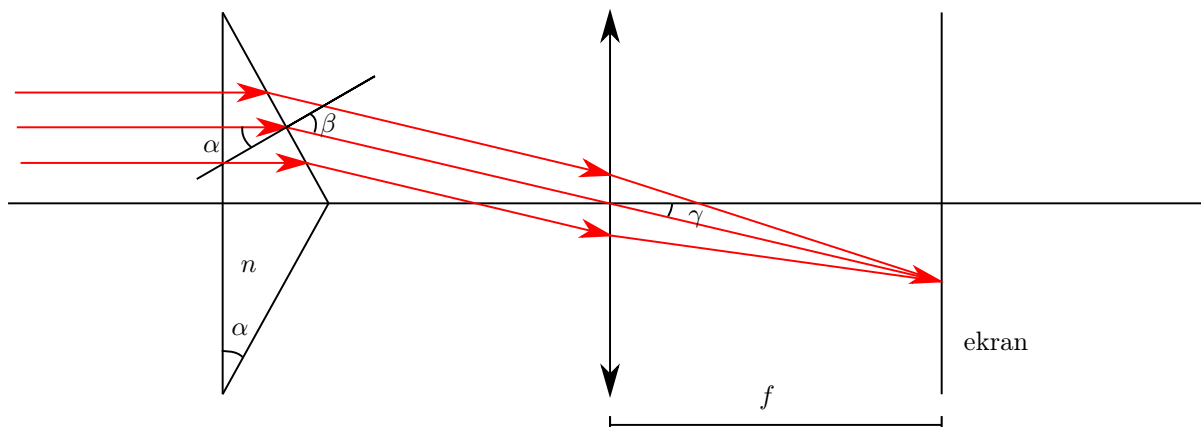
Oko nie jest jakimś wyjątkowo dużym obiektem, zatem rozmiary kątowe także powinny być stosunkowo niewielkie.

$$N = \frac{\alpha_2}{\alpha_1} \approx \frac{H}{a+b} \cdot \frac{2a}{h} = \frac{H}{h} \cdot \frac{2a}{a-y} = \frac{-y}{a} \cdot \frac{2a}{a-y}$$

$$\frac{1}{R} = \frac{1}{a} + \frac{1}{y} \Rightarrow R = \frac{2ay}{a+y}$$

$$Na - Ny + 2y = 0 \Rightarrow y = \frac{Na}{N-2}$$

$$R = \frac{\frac{2Na^2}{N-2}}{a + \frac{Na}{N-2}} = \frac{2Na^2}{2Na - 2a} = \frac{Na}{N-1}$$



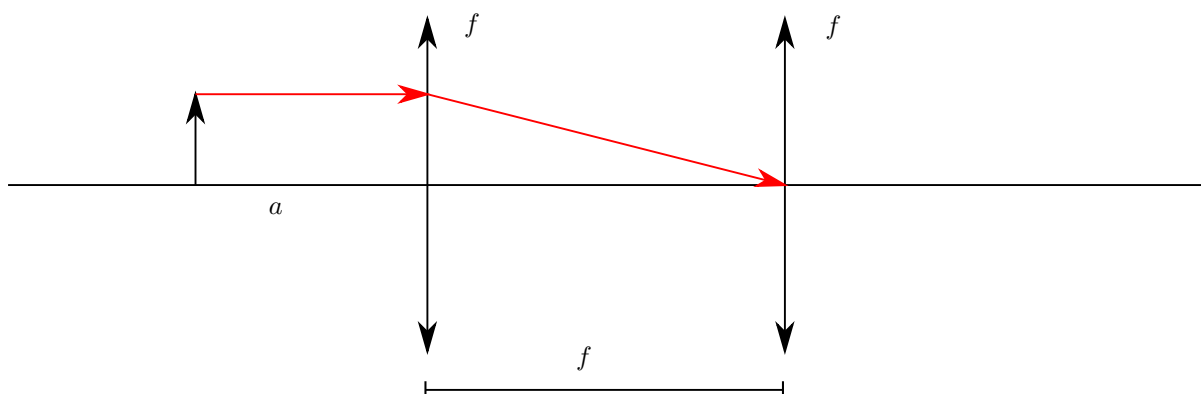
Rysunek 1.28: Jest sobie szklany stożek o kącie rozwarcia  $\alpha \ll 1$ , soczewka i ekran ustawiony w odległości  $f$  od niej. Jaki powstanie obraz?

Na ekranie powstanie okrąg. Równoległe promienie zawsze przecinają się w jednym punkcie, w płaszczyźnie ogniska, chyba że uwzględniamy komę. Obliczyć promień tego okręgu.

$$\frac{\beta}{\alpha} = n, \quad \gamma + \frac{\pi}{2} + \alpha + \frac{\pi}{2} - \beta = \pi$$

$$\gamma = \beta - \alpha = \alpha(n-1)$$

$$R = f \tan \gamma \approx f \alpha (n-1)$$



Rysunek 1.29: Jaki powstanie obraz?

$$\frac{1}{y_1} = \frac{1}{f} - \frac{1}{a} = \frac{a-f}{af}$$

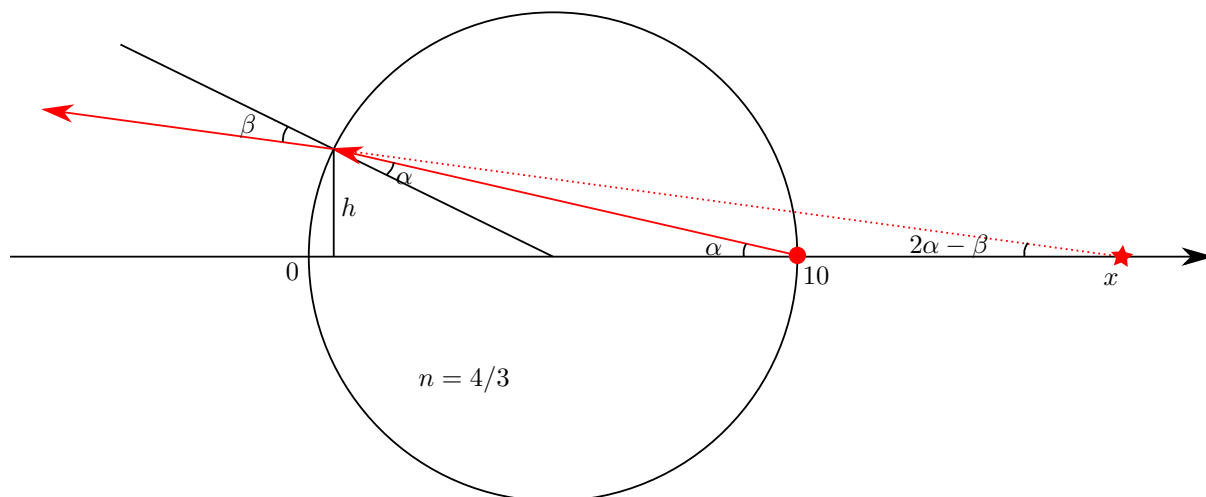


$$\frac{1}{f} = \frac{1}{f - y_1} + \frac{1}{y_2}$$

$$\frac{1}{y_2} = \frac{1}{f} - \frac{1}{f - \frac{af}{a-f}} = \frac{\frac{af}{f-a}}{f\left(f - \frac{af}{a-f}\right)} = \frac{a}{(f-a)\left(f + \frac{af}{f-a}\right)} = \frac{a}{f^2 - af + af}$$

$$y_2 = \frac{f^2}{a}$$

Zatem obraz zawsze będzie rzeczywisty. Tak samo byłoby dla innych soczewek - zawsze  $f^2 > 0$ .



Rysunek 1.30: Trzymamy oko zaraz przy cieniutkiej kuli wypełnionej wodą. Na osi optycznej umieszczamy paproszek i pytamy jak zmieni się odległość od paproszka, którą widzimy?

Odległość, którą postrzegamy pochodzi od przedłużenia załamane promienia przyosiowego. Musimy zatem policzyć odległość  $x$ .

$$\frac{h}{2R} \approx \tan \alpha \approx \alpha$$

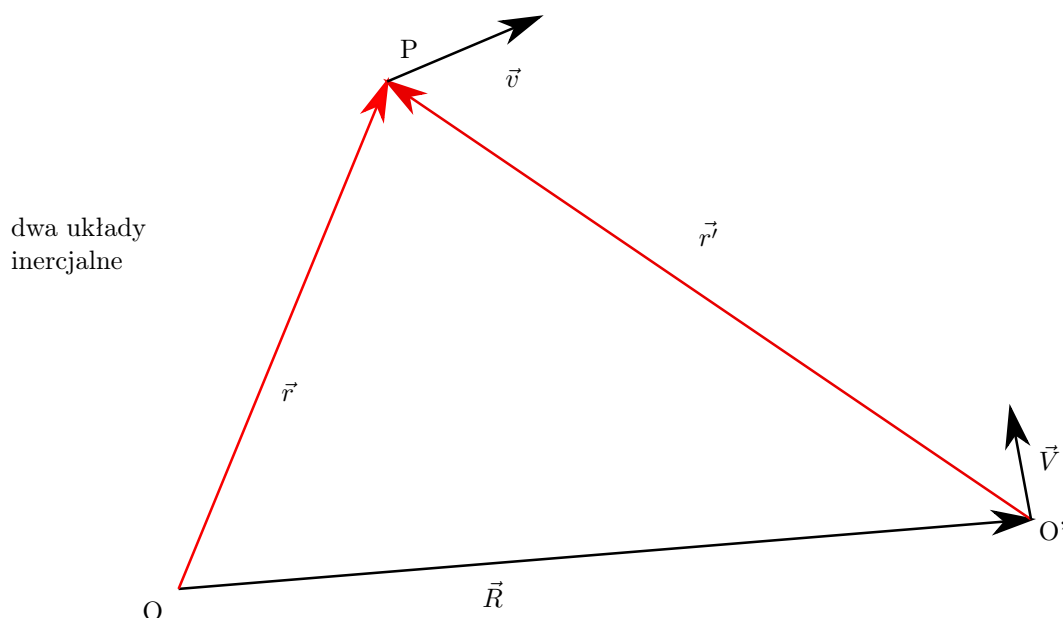
$$\frac{\sin \beta}{\sin \alpha} \approx \frac{\beta}{\alpha} = n$$

$$x \approx \frac{h}{\tan(2\alpha - \beta)} \approx \frac{h}{2\alpha - \beta} = \frac{2R\alpha}{2\alpha - n\alpha} = \frac{2R}{\frac{2}{3}} = 3R = 15$$

## Rozdział 2

# Szczególna Teoria Względności

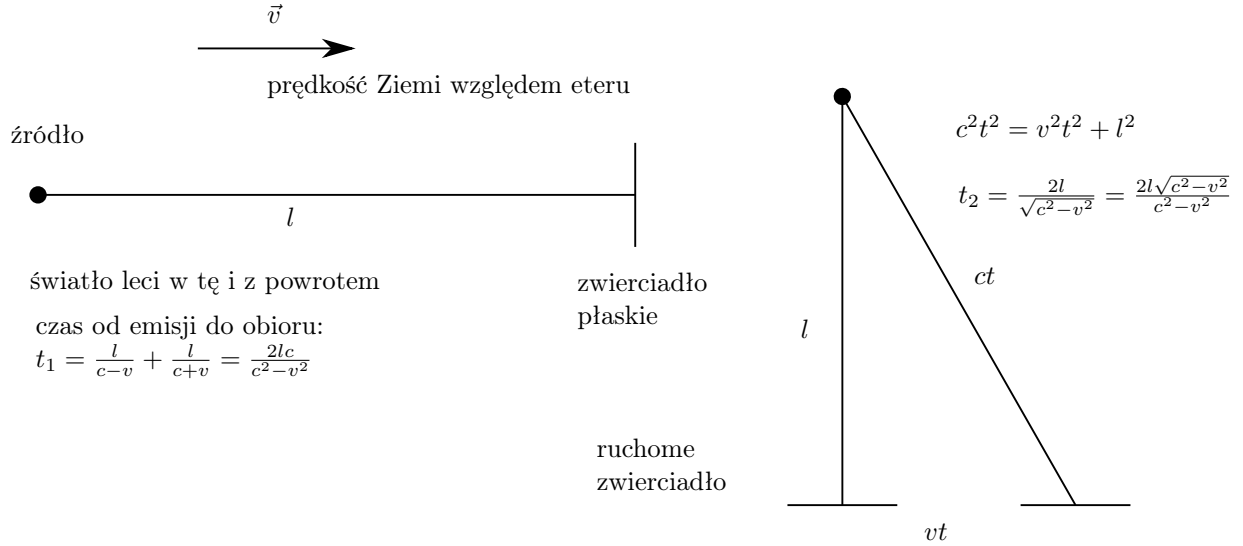
### 2.1 Transformacja Galileusza



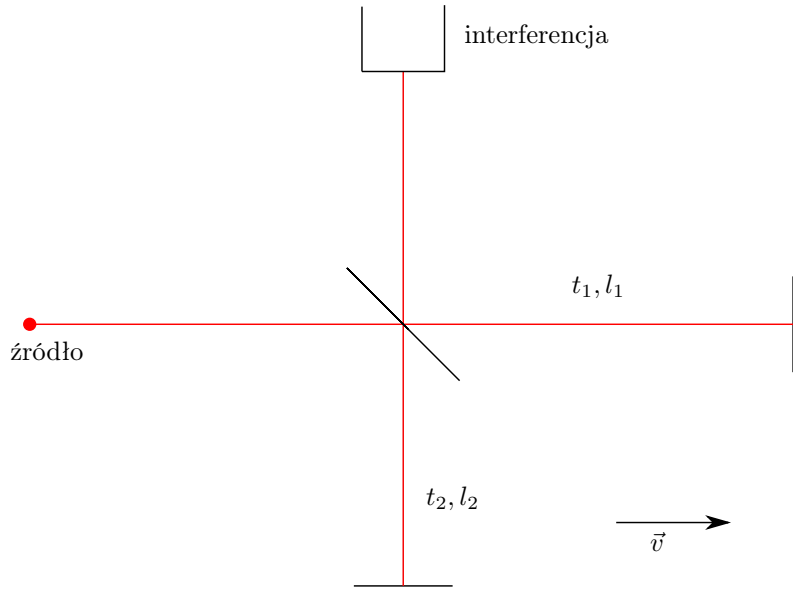
Rysunek 2.1: Mamy dwa układy inercyjne, poruszające się względem siebie. Czas mierzą tak samo.  $\vec{R} = \vec{R}_0 + \vec{V}t$ . Niech  $\vec{R}_0 = 0$ .

Przejście między tymi układami opisuje transformacja Galileuszowa:

$$P'(\vec{r}, t) = \begin{cases} \vec{r}' = \vec{r} - \vec{R} \\ t' = t \\ \vec{v}' = \frac{d\vec{r}'}{dt} = \vec{v} - \vec{V} \\ \vec{a}' = \vec{a} \end{cases}$$



Rysunek 2.2: Widzimy, że  $t_2 < t_1$ . Efekt doświadczenia był negatywny. Nie wykryto prędkości Ziemi względem eteru. Interpretacje były dwie: Ziemia jest wyróżnionym układem lub światło rozchodzi się z tą samą prędkością w każdym układzie.



Rysunek 2.3: Interferometryczny eksperyment Michelsona-Morleya.

$$\Delta t = \frac{2l_1 c}{c^2 - v^2} - \frac{2l_2 \sqrt{c^2 - v^2}}{c^2 - v^2}$$

Po obroceniu interferometru o  $\pi/2$ :

$$\Delta t' = \frac{2(l_1 \sqrt{c^2 - v^2} - l_2 c)}{c^2 - v^2}$$

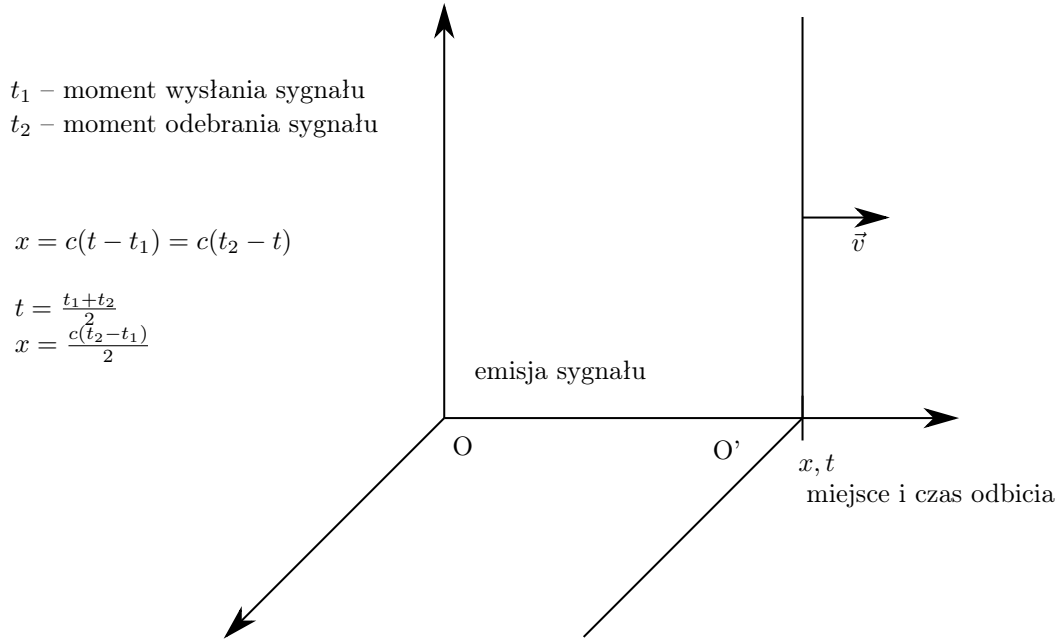
$$\tau = \Delta t - \Delta t' = \frac{2 \left[ l_1 (c - \sqrt{c^2 - v^2}) + l_2 (c - \sqrt{c^2 - v^2}) \right]}{c^2 - v^2} = \frac{2(l_1 + l_2) (c - \sqrt{c^2 - v^2})}{c^2 - v^2}$$

$$c\tau = k\lambda$$

Z doświadczenia nie zaobserwowaliśmy przesunięcia prążków, zatem

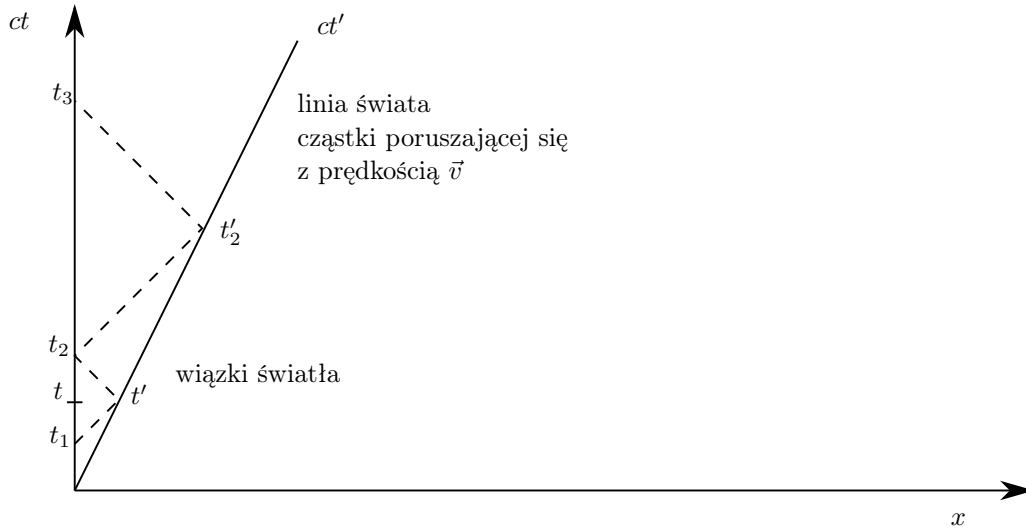
$$c = \sqrt{c^2 - v^2} \Rightarrow v = 0$$

skąd wcześniej wspomniane interpretacje doświadczenia Michelsona-Morleya.



Rysunek 2.4: Układ wysyłający i odbierający wiązki światła.

## 2.2 Transformacja Lorentza



Rysunek 2.5: Randomowe worldlines. Linia świata układu cząstki to oś czasowa  $ct'$  tego układu. Dla obserwatora w układzie spoczywającym odbicie następuje w chwili  $t$ , dla poruszającego się w momencie  $t'$ .

$$\frac{t'}{t_1} = \frac{t'_2}{t_2} = \alpha, \quad \frac{t_2}{t'} = \frac{t_3}{t'_2} = \alpha$$

gdyż układy są równoważne.

$$t_1 = \frac{t'}{\alpha}, \quad t_2 = \alpha t'$$

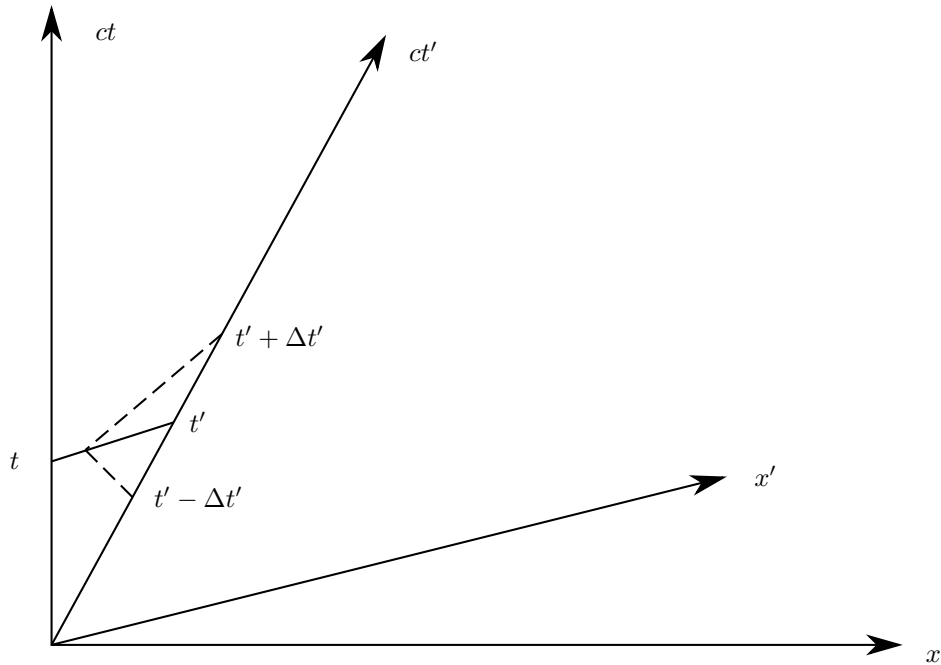
$$t = \frac{t_1 + t_2}{2} = \frac{t'}{2} \left( \alpha + \frac{1}{\alpha} \right) \Rightarrow t' \leq t$$

Z punktu widzenia  $O'$   $t$  i  $t'$  nie są zdarzeniami równoczesnymi. Dla niego równoczesne jest  $t'$  i jakieś wydarzenie na  $ct$  przed  $t$ .

$$\begin{aligned} c(t_2 - t_1) &= v(t_1 + t_2) \\ ct' \left( \alpha - \frac{1}{\alpha} \right) &= vt' \left( \alpha + \frac{1}{\alpha} \right) \\ c(\alpha^2 - 1) &= v(\alpha^2 + 1) \\ \alpha^2(c - v) &= c + v \end{aligned}$$

**Wniosek 12.**

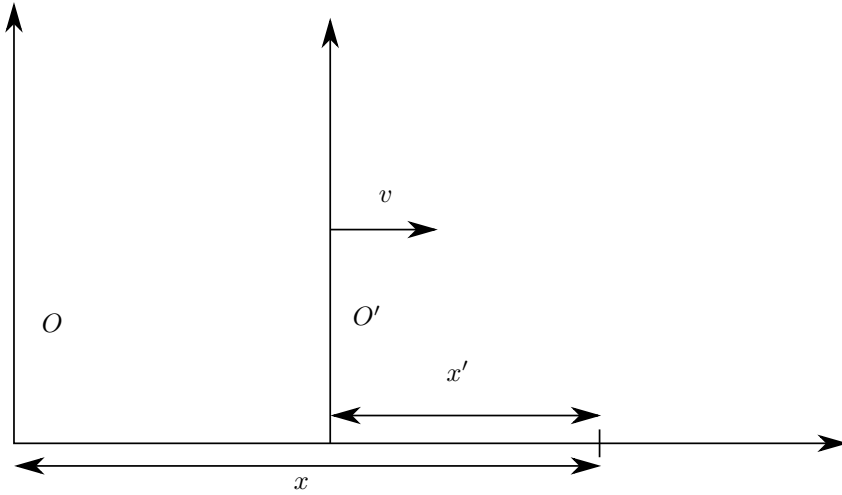
$$\alpha = \sqrt{\frac{c+v}{c-v}}$$



Rysunek 2.6: Tutaj  $t'$ ,  $t$  są równoczesne z punktu widzenia  $O'$ .

Skoro proste przechodzą na proste, to transformacja także musi być liniowa. Zatem szukamy współczynników.

$$\begin{cases} x' = \alpha x + \beta t \\ t' = \gamma t + \delta x \end{cases}$$



Rysunek 2.7

Weźmy sobie punkt  $O'$ :

$$x' = 0, x = vt \Rightarrow 0 = \alpha vt + \beta t \Rightarrow \beta = -\alpha v$$

$$\begin{cases} x' = \alpha(x - vt) \\ t' = \gamma t + \delta x \end{cases}$$

Teraz popatrzymy na punkt  $O$  w układzie primowanym:

$$x' = -vt', x = 0 \Rightarrow x' = -v(\gamma t + \delta x) = -v\gamma t = -\alpha vt \Rightarrow \alpha = \gamma$$

$$\begin{cases} x' = \alpha(x - vt) \\ t' = \alpha t + \delta x \end{cases}$$

$$c = \frac{x}{t} = \frac{x'}{t'} = \frac{\alpha(x - vt)}{\alpha t + \delta x}$$

$$\alpha tx = \delta x^2 = \alpha vt - \alpha vt$$

$$\delta = -\frac{\alpha vt^2}{x^2} = -\frac{-\alpha v}{c^2}$$

$$\begin{cases} x' = \alpha(x - vt) \\ t' = \alpha \left( t - \frac{v}{c^2} x \right) \end{cases}$$

Korzystając z faktu, że układy są równoważne, to transformacja odwrotna powinna wyglądać:

$$\begin{cases} x = \alpha(x' + vt') \\ t = \alpha \left( t' + \frac{v}{c^2} x' \right) \end{cases}$$

$$\alpha = \frac{x}{x' + vt'} = \frac{x}{\alpha(x - vt) + \alpha \left( vt - \frac{v^2}{c^2} x \right)}$$

$$\alpha = \pm \frac{1}{\sqrt{1 - \frac{v^2}{c^2}}}$$

Dla transformacji Galileusza  $\alpha = 1$ , zatem musimy wziąć znak  $+$ .

**Twierdzenie 9** (Transformacja Lorentza).

$$x' = \frac{x - vt}{\sqrt{1 - \frac{v^2}{c^2}}}$$

$$t' = \frac{t - \frac{vx}{c^2}}{\sqrt{1 - \frac{v^2}{c^2}}}$$

## 2.3 Transformacja prędkości

$$v'_x = \frac{dx'}{dt'} = \frac{dx'}{dt} \frac{dt}{dt'} = \alpha^2 (v_x - v) \left( 1 + \frac{vv'_x}{c^2} \right)$$

$$\frac{v'_x}{\alpha^2} = \frac{vv_x v'_x}{c^2} + v_x - v - \frac{v^2 v'_x}{c^2}$$

$$v'_x \left( 1 - \frac{v^2}{c^2} - \frac{vv_x}{c^2} + \frac{v^2}{c^2} \right) = v_x - v$$

$$v'_x = \frac{v_x - v}{1 - \frac{vv_x}{c^2}}$$

Dla  $v_x = c$  mamy:

$$v'_x = \frac{c - v}{1 - \frac{v}{c}} = \frac{c(c - v)}{c - v} = c$$

Więc wyjściowe założenie działa.

## 2.4 Dylatacja czasu

Niech proces odbywa się w stałym miejscu. Rozważamy początki i końce.

$$x'_1 = x'_2; t'_1, t'_2; \Delta t' = t'_2 - t'_1$$

Ile trwa ten proces z punktu widzenia układu nieprimowanego?

$$\Delta t = \frac{\Delta t'}{\sqrt{1 - \frac{v^2}{c^2}}} \geq \Delta t'$$

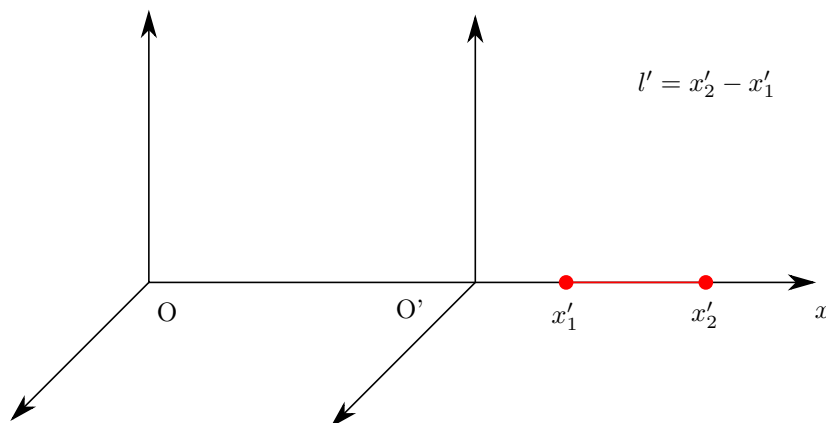
Zatem czas procesu jest najkrótszy w układzie, w którym się proces nie przemieszcza.

$\Delta t'$  – czas nadawania audycji przez kosmonautów. Statek startuje z Ziemi i się oddala z prędkością  $v$ . Ile czasu trwało odbieranie audycji?

$$\Delta t = \frac{x_2 - x_1}{c} = \frac{v \Delta t'}{c \sqrt{1 - \frac{v^2}{c^2}}} = \Delta t' \frac{c + v}{\sqrt{c^2 - v^2}} = \Delta t' \sqrt{\frac{c + v}{c - v}}$$

Ten pierwiastek to ten stosunek  $\frac{t_1}{t'_1}$ , jak już sobie wcześniej pokazaliśmy.

## 2.5 Kontrakcja Lorentza



Rysunek 2.8: Pręt spoczywa w  $O'$ . Jaka jest długość wg. obserwatora w układzie  $O$ ? Mierzmy tak, że otrzymujemy  $(x_1, x_2)$  w tym samym czasie –  $t_1 = t_2$ .

$$l' = x'_2 - x'_1 = \gamma(x_2 - x_1 - vt_2 + vt_1) = \gamma l$$

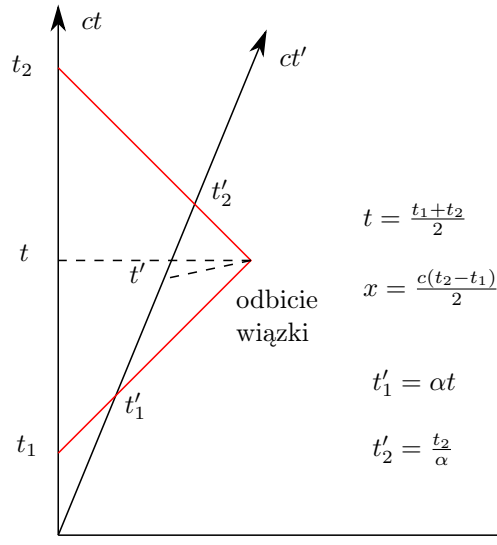
$$l = l' \sqrt{1 - \frac{v^2}{c^2}}$$

Teraz niech obserwator mierzy chwile, w których pręt go mijał w jakimś miejscu  $x - t_1 \neq t_2$ . Teraz pomiar jest w jednym miejscu, więc  $x_2 = x_1$ .

$$l = v(t_1 - t_2)$$

$$l' = x'_2 - x'_1 = \frac{v(t_1 - t_2)}{\sqrt{1 - \frac{v^2}{c^2}}} = \frac{l}{\sqrt{1 - \frac{v^2}{c^2}}}$$

Wyszło oczywiście to samo.



Rysunek 2.9: Inne, geometryczne wyprowadzenie transformacji Lorentza.

$$t_1 = t - \frac{x}{c}, \quad t_2 = t + \frac{x}{c}$$

$$t'_1 = t' - \frac{x'}{c}, \quad t'_2 = t' + \frac{x'}{c}$$

$$t = \frac{1}{2} \left( \frac{t'_1}{\alpha} + t'_2 \alpha \right) = \frac{1}{2} \left( \frac{t' - \frac{x'}{c}}{\alpha} + \left( t' + \frac{x'}{c} \right) \right) = \frac{1}{2} \left\{ t' \left( \alpha + \frac{1}{\alpha} \right) + \frac{x'}{c} \left( \alpha - \frac{1}{\alpha} \right) \right\} =$$

$$= \frac{t'c}{\sqrt{c^2 - v^2}} + \frac{x'v}{c\sqrt{c^2 - v^2}} = \frac{1}{c\sqrt{1 - \frac{v^2}{c^2}}} \left( t'c + \frac{vx'}{c} \right)$$

Weźmy cząstkę w układzie O o prędkości  $\vec{v}_p = (v_x, v_y)$ . Ile wynosi  $v'_y$ ?

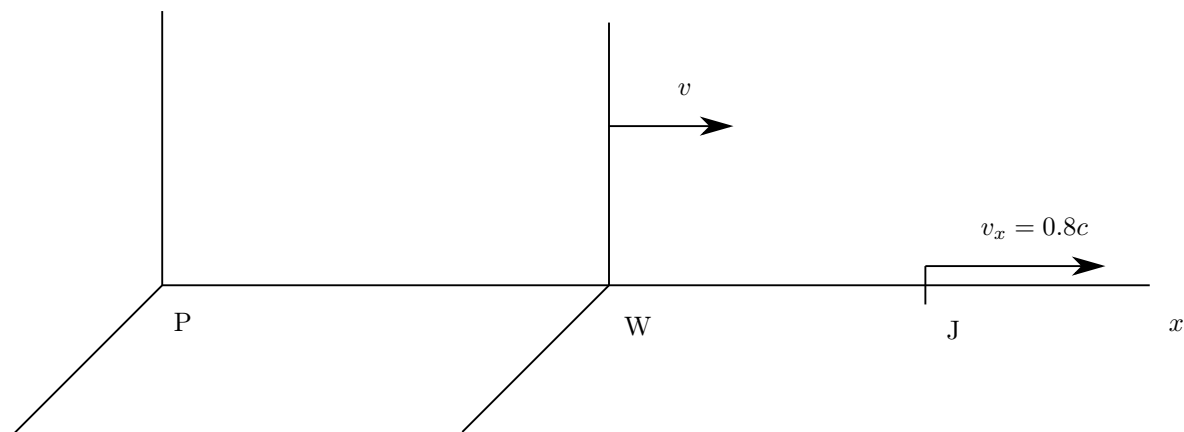
$$v'_y = \frac{dy'}{dt'} = \frac{dy'}{dt} \frac{dt}{dt'} = v_y \frac{dt}{dt'} = v_y \alpha \left( 1 + \frac{vv'_x}{c^2} \right) = \dots$$

Tymczasem

$$v'_y = \frac{\Delta y'}{\Delta t'} = \frac{\Delta y \sqrt{1 - \frac{v^2}{c^2}}}{\Delta t - \frac{v \Delta x}{c^2}} = \frac{v_y}{1 - \frac{vv_x}{c^2}} \sqrt{1 - \frac{v^2}{c^2}}$$

Jacek porusza się względem „spoczywającego” Placka z prędkością  $v = 0.8c$ . Z jaką prędkością porusza się Wacek jeśli wiadomo, że Jacek i Placek oddalają się od niego z takimi samymi co do wartości, lecz przeciwnie skierowanymi prędkościami.



Rysunek 2.10: Zgodnie z założeniami,  $v = v'_x$ .

$$v'_x = \frac{v_x - v}{1 - \frac{vv_x}{c^2}} = v = \frac{0.8c - v}{1 - \frac{0.8v}{c}}$$

$$0.8v^2 - 2cv + 0.8c^2 = 0$$

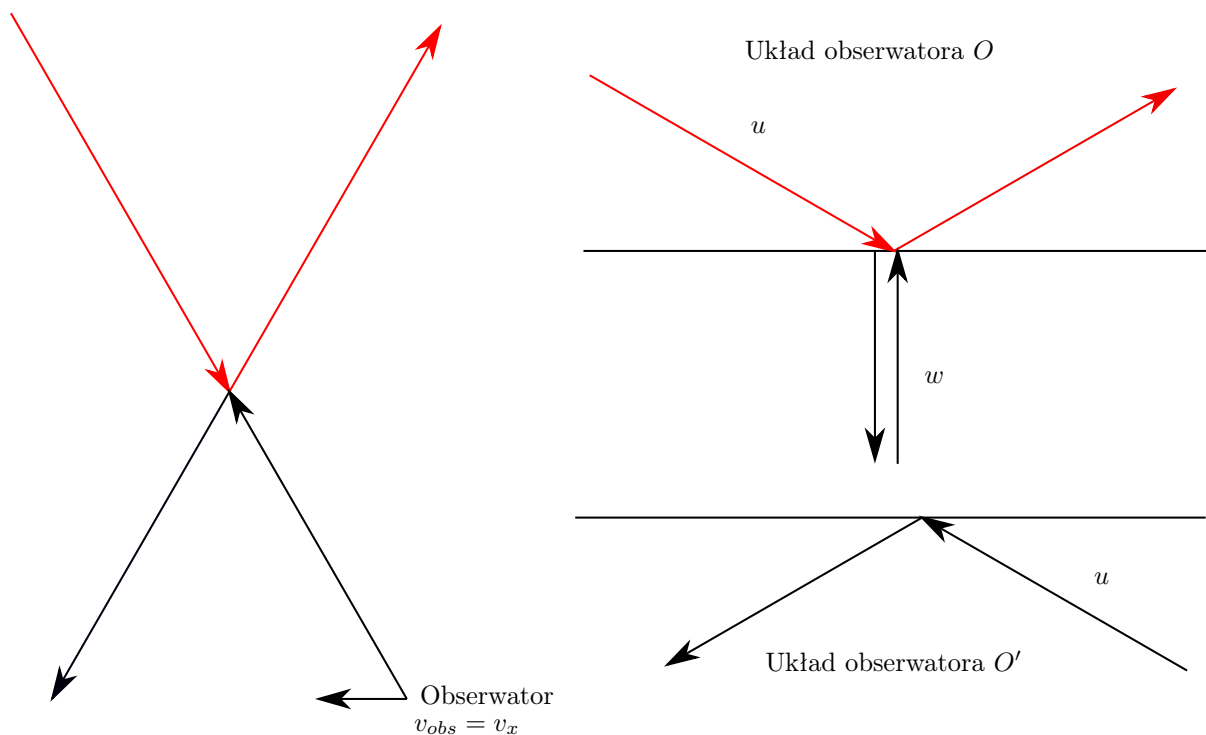
$$\sqrt{\Delta} = 2c\sqrt{1 - 0.8^2} = 1.2c \implies v = \frac{2 \pm 1.2}{1.6}c = 0.5c$$

## 2.6 Pęd relatywistyczny

Wierzmy w zasadę zachowania pędu, ale będziemy szukać pędu postaci

$$\vec{p} = m(v)\vec{v}$$

Weźmy układ, w którym  $\vec{v}_p = (v_x, v_y)$ . Rozważmy zderzenie dwóch jednakowych cząstek.

Rysunek 2.11: Patrząc na dolną cząstkę:  $v_y = w$ ,  $v'_y = u_y$ . Prędkość względna układów  $v = u_x$

$$u_y = w \sqrt{1 - \frac{u_x^2}{c^2}}$$

Zapiszmy zasadę zachowania pędu w kierunku  $y$ :

$$m(w)w - m(u)u_y = m(u)u_y - m(w)w \implies m(w)w = m(u)u_y$$

$$m(w) = m(u) \sqrt{1 - \frac{u_x^2}{c^2}}$$

$$w \rightarrow 0 \implies m(0) = m = m(u) \sqrt{1 - \frac{u^2}{c^2}}$$

$$\vec{p} = m(u)\vec{u} = \frac{m\vec{u}}{\sqrt{1 - \frac{u^2}{c^2}}}$$

$$\vec{F} = \frac{d\vec{p}}{dt} = m \frac{d}{dt} \left( \frac{\vec{v}}{\sqrt{1 - \frac{v^2}{c^2}}} \right)$$

$$p^2 = \frac{m^2 v^2}{1 - \frac{v^2}{c^2}} \implies v^2 = \frac{p^2}{m^2 + \frac{p^2}{c^2}} \xrightarrow{p^2 \rightarrow \infty} c^2$$

Zatem nie rozpędzimy się bardziej niż do  $c$ .

## 2.7 Energia relatywistyczna

$$x \ll 1 \implies f(x) \approx f(0) + f'(0)x + f''(0)\frac{x^2}{2} \dots$$

$$\frac{d}{dv} \left( \frac{1}{\sqrt{1 - \frac{v^2}{c^2}}} \right) = \left( 1 - \frac{v^2}{c^2} \right)^{-\frac{3}{2}} \frac{v}{c^2}$$

$$\frac{d^2}{dv^2} \left( \frac{1}{\sqrt{1 - \frac{v^2}{c^2}}} \right) = 3 \left( 1 - \frac{v^2}{c^2} \right)^{-\frac{5}{2}} \frac{v}{c^2} + \left( 1 - \frac{v^2}{c^2} \right)^{-\frac{3}{2}} \frac{1}{c^2} \Big|_{v=0} = \frac{1}{c^2}$$

$$\implies \frac{m}{\sqrt{1 - \frac{v^2}{c^2}}} = m + \frac{mv^2}{2c^2} + \dots$$

$$\frac{mc^2}{\sqrt{1 - \frac{v^2}{c^2}}} = mc^2 + \frac{mv^2}{2} + \dots = mc^2 + E_k$$

**Twierdzenie 10** (Energia cząstki relatywistycznej).

$$E = mc^2 + E_k = \frac{mc^2}{\sqrt{1 - \frac{v^2}{c^2}}}, \text{ oraz } v \ll c \implies E_k \rightarrow \frac{mv^2}{2}$$

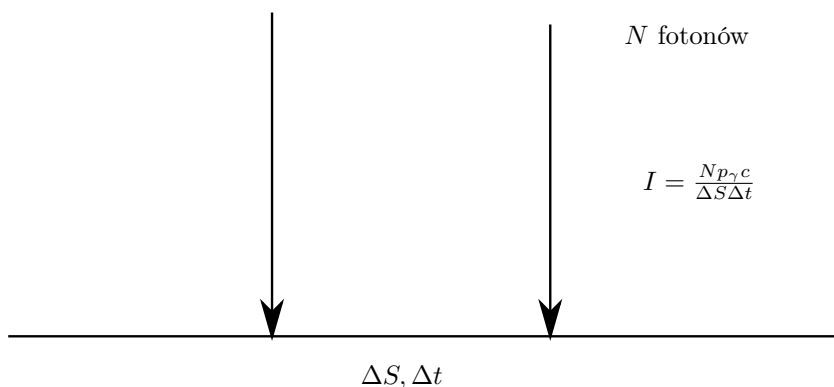
**Wniosek 13.**

$$E = \sqrt{p^2 c^2 + m^2 c^4}$$

## 2.8 Zjawisko fotoelektryczne

Z energii relatywistycznej wynika, że masa fotonu  $m_\gamma = 0$ , natomiast foton ma energię  $E_\gamma = p_\gamma c$ . W połączeniu z  $E_\gamma = h\nu$ :

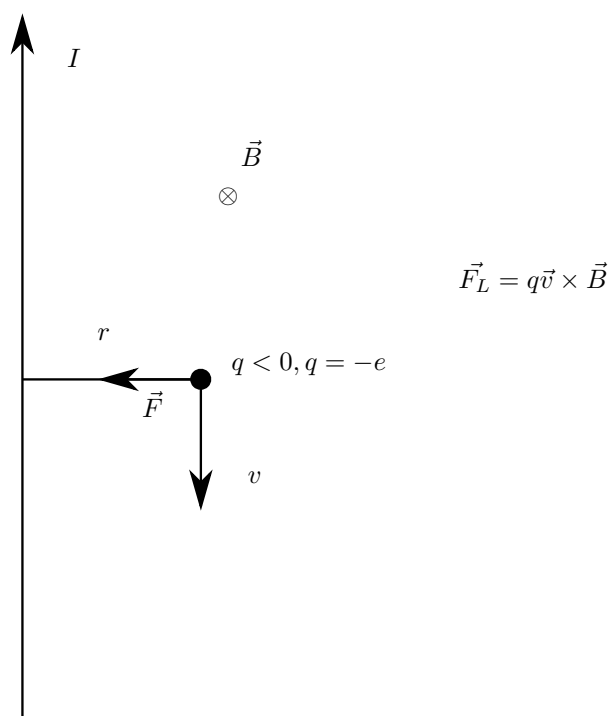
$$\Rightarrow p_\gamma = \frac{h}{\lambda}$$



Rysunek 2.12: Ciśnienie fotonów.

DO UZUPEŁNIENIA!!!

## 2.9 Względność pól $\vec{E}$ , $\vec{B}$



Rysunek 2.13: Ludek sobie siedzi na ładunku i mówi że się ładunek nie porusza. Więc nie ma siły Lorentza. Mamy paradoks. W układzie związanym z drutem ładunek się porusza. Prędkość unoszenia jest dużo mniejsza od prędkości światła. Rozwiązaniem tego paradoksu jest uwzględnienie efektów relatywistycznych. Przyjmujemy, że prędkość tego ładunku jest taka jak średnia prędkość unoszenia w drucie.

W układzie związanym z drutem, drut nie jest naładowany –  $\rho_+ = -\rho_- = \rho$

$$F = evB, \quad B = \frac{\mu_0 I}{2\pi r}$$

$$I = \frac{\Delta Q}{\Delta t} = vSne \implies I = v\rho S$$

$$F = ev \frac{\mu_0 I}{2\pi r} = \frac{ev^2 \mu_0 \rho S}{2\pi r}$$

Pamiętajmy jeszcze, że  $c^2 = (\epsilon_0 \mu_0)^{-1}$ .

$$\implies F = \frac{ev^2 \rho S}{2\pi \epsilon_0 c^2 r}$$

$$S\rho = \frac{Q}{l}$$

Teraz bierzemy układ nieruchomego ładunku.

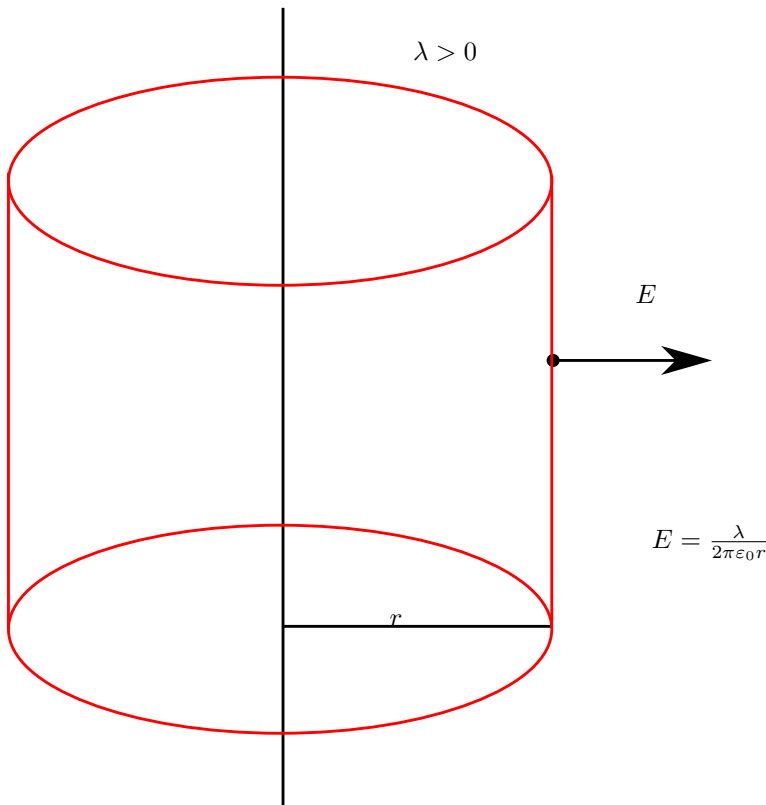
$$S\rho'_+ = \frac{Q}{l\sqrt{1 - \frac{v^2}{c^2}}}$$

$$S\rho'_- = \frac{Q\sqrt{1 - \frac{v^2}{c^2}}}{l}$$

$$S(\rho'_+ - \rho'_-) = \frac{Q}{l} \left( \frac{1}{\sqrt{1 - \frac{v^2}{c^2}}} - \sqrt{1 - \frac{v^2}{c^2}} \right) = \frac{Q}{l} \frac{v^2}{c^2 \sqrt{1 - \frac{v^2}{c^2}}}$$

I teraz elektrostatyka. Drut w tym układzie zrobił się dodatnio naładowany.

$$\lambda = S(\rho'_+ - \rho'_-)$$



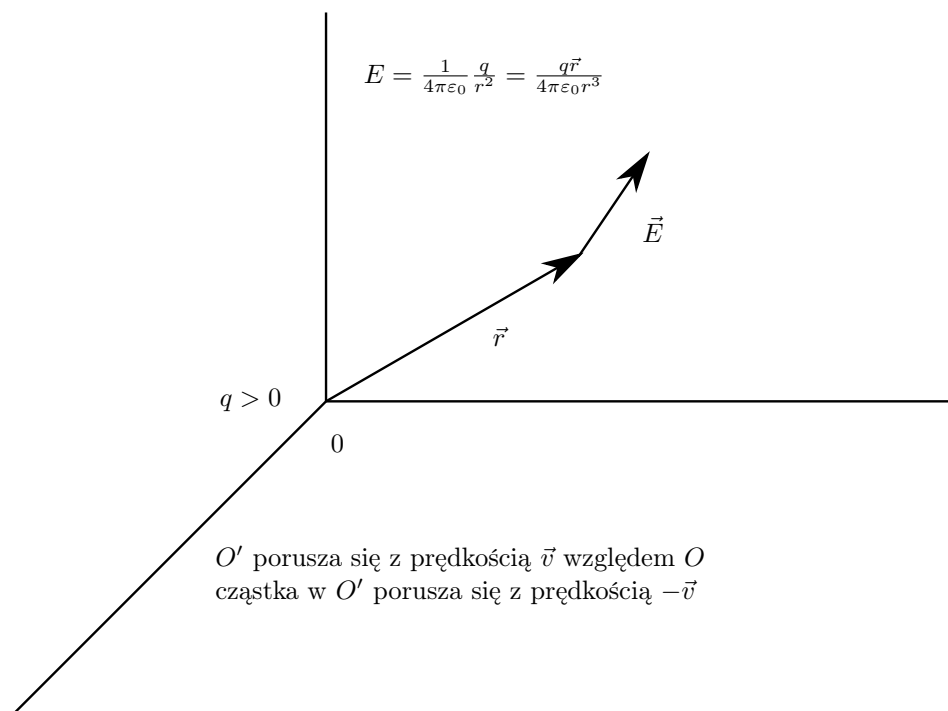
Rysunek 2.14

$$F' = eE = \frac{e\lambda}{2\pi\epsilon_0 r} = \frac{e\rho v^2 S}{2\pi\epsilon_0 r c^2 \sqrt{1 - \frac{v^2}{c^2}}}$$

**Wniosek 14.** Pola elektryczne i magnetyczne są względne i trzeba uważać!

DO UZUPEŁNIENIA!

### 2.9.1 Zmiana pola $\vec{B}$ przy zmianie układów inercjalnych



Rysunek 2.15: BEwz

**Twierdzenie 11** (Przypomnienie prawa Biote'a-Savarta). Pole od elementu druta, w którym płynie prąd.

$$d\vec{B} = \frac{\mu_0 I}{4\pi} \frac{d\vec{l} \times \vec{r}}{r^3}$$

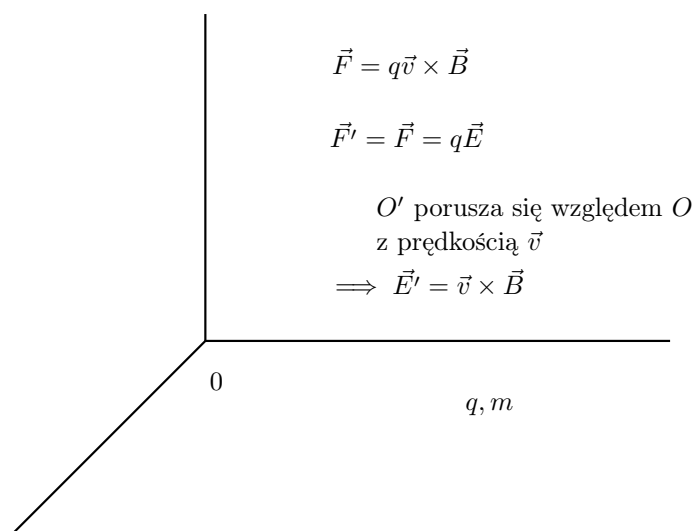
$$\begin{aligned} \vec{B}' &= \frac{-\mu_0 q}{4\pi} \frac{\vec{v} \times \vec{r}}{r^3} \\ &= \frac{-\mu_0 \epsilon_0 q \vec{v} \times \vec{r}}{4\pi \epsilon_0 r^3} \\ &= -\frac{\vec{v} \times \vec{E}}{c^2} \end{aligned}$$

**Wniosek 15.**

$O$  – pole  $\vec{B}$

$O'$  – pole  $\vec{B} - \frac{\vec{v} \times \vec{E}}{c^2}$

Przechodząc do innego układu możemy przyjąć, że poprawka na zmianę pola magnetycznego jest zaniedbywana.



Rysunek 2.16:  $\vec{E}' = \vec{E} + \vec{v} \times \vec{B}$

## 2.10 Relatywistyczny efekt Dopplera

Rozważamy sobie lecące światło:  $v = c$ . Mamy  $f_0, T_0$  to częstotliwość i okres źródła stojącego.  $f, T$  odnoszą się do źródła ruchomego.

Zbliża się źródło. Dylatacja czasu:

$$T = \frac{T_0}{\sqrt{1 - \frac{v^2}{c^2}}}$$

$$f = f_0 \frac{c^2}{\sqrt{1 - \frac{v^2}{c^2}}}$$

$$f' = f_0 \frac{c}{c - v} \frac{c^2}{\sqrt{1 - \frac{v^2}{c^2}}}$$

$$f' = f_0 \sqrt{\frac{c + v}{c - v}}$$

gdzie  $v$  oznaczało prędkość źródła.

Teraz rozważmy poruszającego się obserwatora. Tu się zmienia długość fali, zamiast okresu.

$$\lambda_0 = cT_0$$

$$\lambda = cT_0 \sqrt{1 - \frac{v^2}{c^2}}$$

$$f' = \frac{f(c + v)}{c^2 \sqrt{1 - \frac{v^2}{c^2}}}$$

$$f' = f_0 \sqrt{\frac{c+v}{c-v}}$$

gdzie  $v$  to prędkość obserwatora.

**Wniosek 16.** Zatem widzimy, że jeśli patrzymy na falę elektromagnetyczną, to nieważne czy porusza się obserwator, czy źródło.

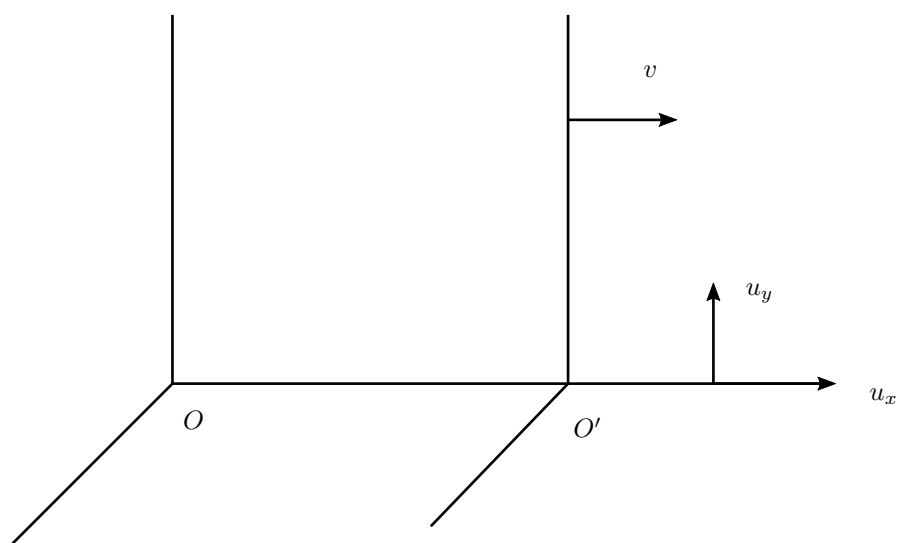
### 2.10.1 Wyprowadzenie z równania fali

$$\begin{aligned} u(0, t) &= A \sin(\omega t) \\ u(x, t) &= A \sin \left[ \omega \left( t - \frac{x}{c} \right) \right] \\ \phi &= \omega \left( t - \frac{x}{c} \right) = \omega t - kx \\ \phi' &= \omega' t' - k' x' \end{aligned}$$

Teraz podstawiamy  $t, x$  z odwrotnej transformacji Lorentza:

$$\begin{aligned} \phi &= \omega \frac{t' + vx'}{\sqrt{1 - \frac{v^2}{c^2}}} - k \frac{x' + vt'}{\sqrt{1 - \frac{v^2}{c^2}}} = \frac{t'(\omega - kx)}{\sqrt{1 - \frac{v^2}{c^2}}} + x'(\dots) \\ \Rightarrow \omega' &= \frac{\omega(1 - \frac{v}{c})}{\sqrt{1 - \frac{v^2}{c^2}}} = \omega \sqrt{\frac{1 - \frac{v}{c}}{1 + \frac{v}{c}}} = \omega \sqrt{\frac{c-v}{c+v}} \\ \Rightarrow f' &= f \sqrt{\frac{c+v}{c-v}} \end{aligned}$$

## 2.11 Transformacja pędu i energii



Rysunek 2.17:  $u = \sqrt{u_x^2 + u_y^2}$

$$\begin{aligned}
x' &= \frac{x - vt}{\sqrt{1 - \frac{v^2}{c^2}}} \\
ct' &= \frac{ct - \frac{vx}{c}}{\sqrt{1 - \frac{v^2}{c^2}}} \\
y' &= y
\end{aligned}$$

$$\begin{aligned}
p_x &= \frac{mu_x}{\sqrt{1 - \frac{u^2}{c^2}}}; & p'_x &= \frac{mu_x}{\sqrt{1 - \frac{u'^2}{c^2}}} \\
\frac{E}{c} &= \frac{mc}{\sqrt{1 - \frac{u^2}{c^2}}}; & \frac{E'}{c} &= \frac{mc}{\sqrt{1 - \frac{u'^2}{c^2}}}
\end{aligned}$$

Popatrzmy na czas własny procesu w układzie cząstki:

$$\Delta\tau = \Delta t \sqrt{1 - \frac{u^2}{c^2}} = \Delta t' \sqrt{1 - \frac{u'^2}{c^2}}$$

$$\begin{aligned}
p'_x &= \frac{m\Delta x'}{\Delta t' \sqrt{1 - \frac{u'^2}{c^2}}} = \frac{m\Delta x'}{\Delta t \sqrt{1 - \frac{u^2}{c^2}}} = \frac{m(\Delta x - v\Delta t)}{\Delta t \sqrt{1 - \frac{u^2}{c^2}} \sqrt{1 - \frac{v^2}{c^2}}} \\
&= \frac{mu_x - mv}{\sqrt{1 - \frac{u^2}{c^2}} \sqrt{1 - \frac{v^2}{c^2}}} = \frac{p_x}{\sqrt{1 - \frac{v^2}{c^2}}} - \frac{E}{c^2} \frac{v}{\sqrt{1 - \frac{v^2}{c^2}}} = \frac{p_x - \frac{Ev}{c^2}}{\sqrt{1 - \frac{v^2}{c^2}}}
\end{aligned}$$

$$\begin{aligned}
\frac{E'}{c} &= \frac{mc\Delta t'}{\Delta t' \sqrt{1 - \frac{u'^2}{c^2}}} = \frac{mc\Delta t'}{\Delta t \sqrt{1 - \frac{u^2}{c^2}}} = \frac{m\left(c\Delta t - \frac{v\Delta x}{c}\right)}{\Delta t \sqrt{1 - \frac{u^2}{c^2}} \sqrt{1 - \frac{v^2}{c^2}}} \\
&= \frac{mc - \frac{vp_x}{c}}{\sqrt{1 - \frac{v^2}{c^2}} \sqrt{1 - \frac{u^2}{c^2}}} = \frac{\frac{E}{c} - \frac{vp_x}{c}}{\sqrt{1 - \frac{v^2}{c^2}}}
\end{aligned}$$

Widzimy, że odpowiednikami transformacji Lorentza są:

$$\begin{aligned}
x &\rightarrow p_x \\
ct &\rightarrow \frac{E}{c}
\end{aligned}$$

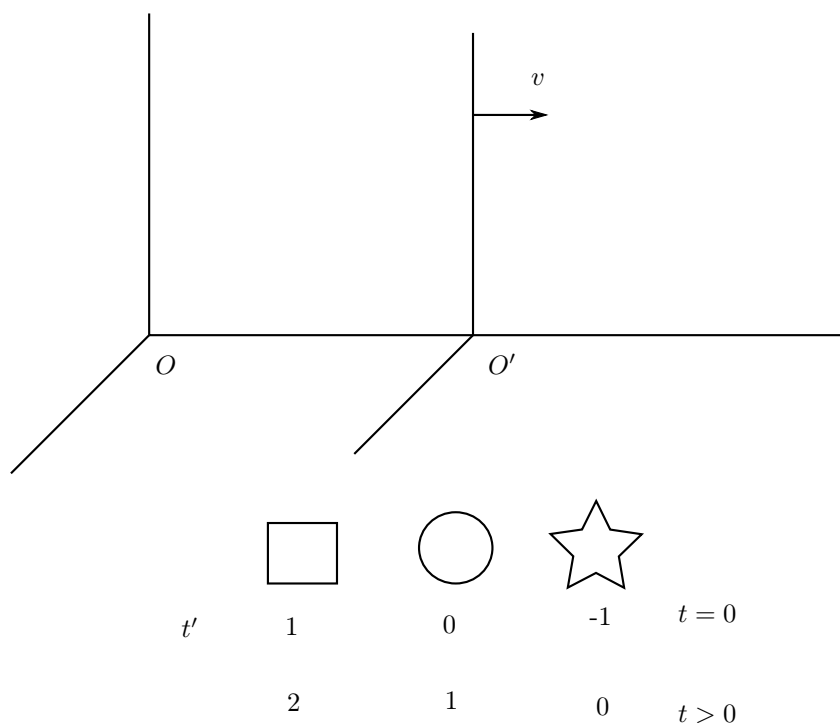
$$p'_y = \frac{m\Delta y'}{\Delta t' \sqrt{1 - \frac{u'^2}{c^2}}} = \frac{m\Delta y}{\Delta t \sqrt{1 - \frac{u^2}{c^2}}} = \frac{mu_y}{\sqrt{1 - \frac{u^2}{c^2}}} = p_y$$

## 2.12 Transformacja siły

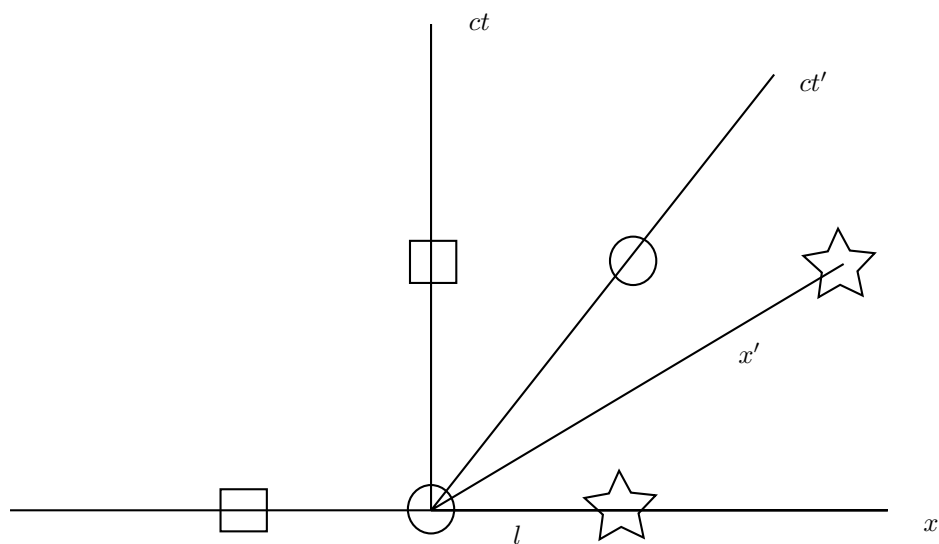
$$\begin{aligned}
F_y &= \frac{\Delta p_y}{\Delta t}; & F'_y &= \frac{\Delta p'_y}{\Delta t'} \\
F'_y &= \frac{\Delta p'_y \sqrt{1 - \frac{v^2}{c^2}}}{\Delta t - \frac{v\Delta x}{c^2}} = \frac{F_y \sqrt{1 - \frac{v^2}{c^2}}}{1 - \frac{vu_x}{c^2}}
\end{aligned}$$



## 2.12.1 Zadanko na miły początek wakacji



Rysunek 2.18: Zegary są na osi  $x$ . Obserwatorzy priomowani zapisują czasy jak mijają zegary,  $l$  – odległość między zegarami;  $v$ ,  $l' = ?$  Układy synchronizują zegarki w chwili zerowej.



Rysunek 2.19: Te same zegary na wykresach.

$$l' = \frac{l}{\sqrt{1 - \frac{v^2}{c^2}}}$$

$$l = vt$$

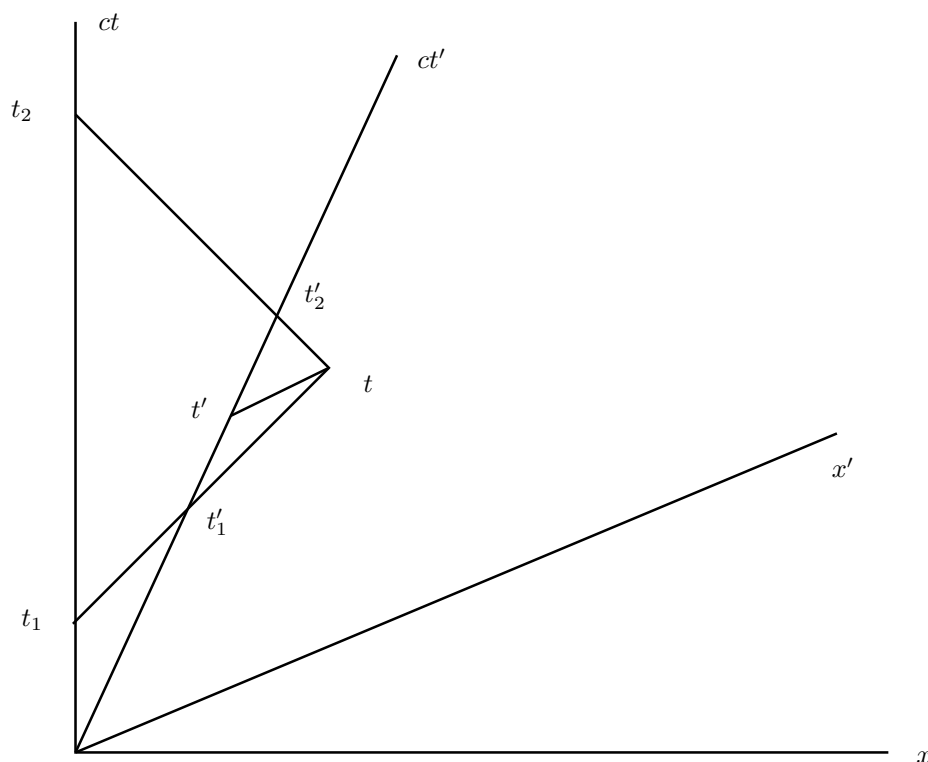
$$t' = 1 = t \sqrt{1 - \frac{v^2}{c^2}}$$

Dla kwadrata mamy:  $t = 0$ ,  $t' = 1$ ,  $x = -l$ :

$$\Rightarrow t' = 1 = \frac{-\frac{v(-l)}{c^2}}{\sqrt{1 - \frac{v^2}{c^2}}}$$

Mamy 4 równania z 4 niewiadomymi, więc możemy już to rozwiązać.

$$v = \frac{c\sqrt{2}}{2}, \quad l' = c\sqrt{2}$$



Rysunek 2.20: Te same zegary once again. . .